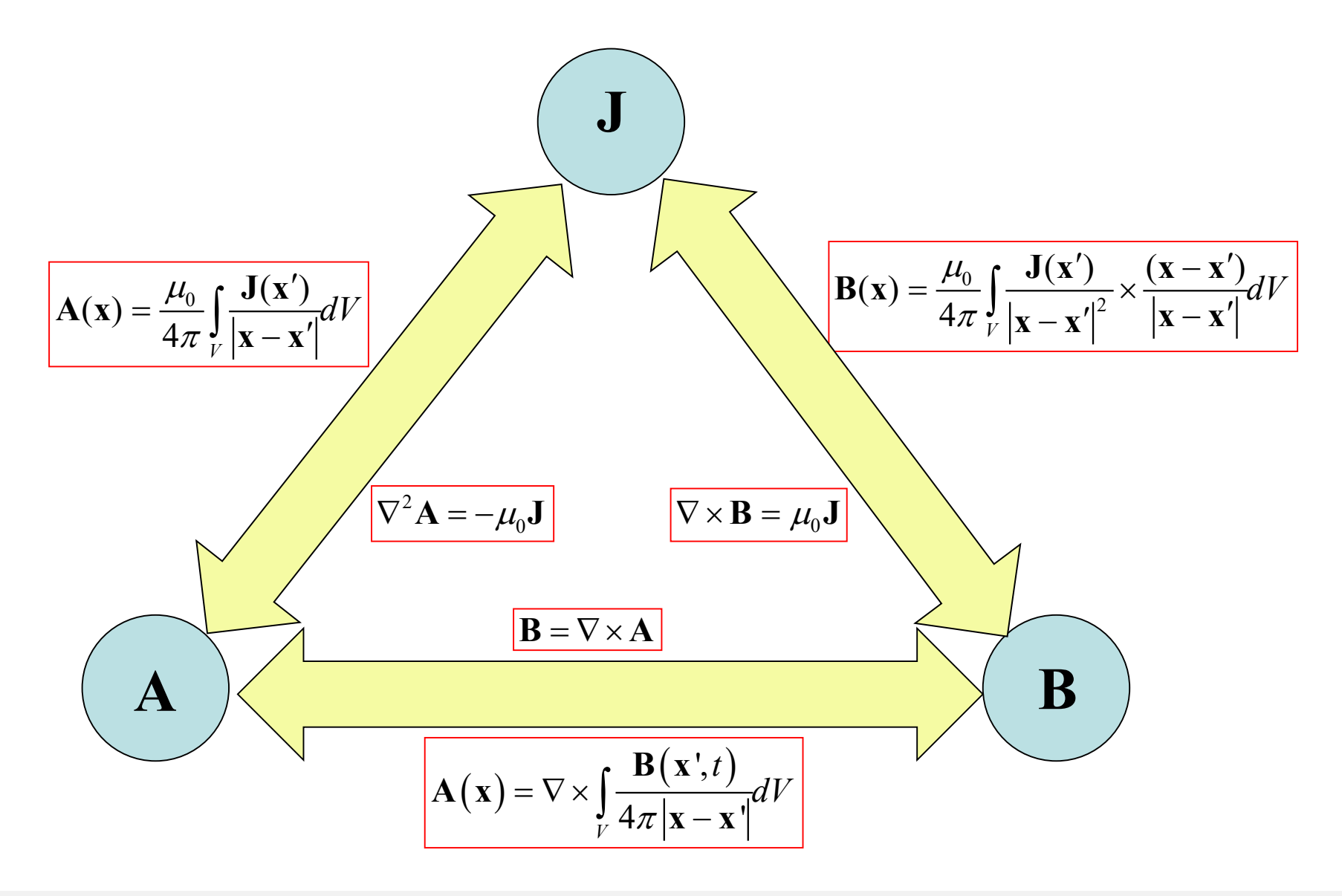
# Semaine 7: **Magnétostatique 1**

# Résumé de la magnétostatique



G 250

# Electrostatique et Magnétostatique: Définition

#### Définition de la condition électrostatique/magnétostatique

La densité de charge  $\rho$  est indépendante du temps. La densité de courant J est indépendante du temps.

$$\frac{\partial \rho}{\partial t} = 0 \qquad \frac{\partial \mathbf{J}}{\partial t} = 0 \qquad \forall \mathbf{x}, \forall t$$



#### **Electrostatique:**

## Electrostatique

$$\frac{\partial \mathbf{E}}{\partial t} = 0$$

$$\nabla \cdot \mathbf{E} = \rho / \varepsilon_0$$

$$\nabla \times \mathbf{B} = 0$$

$$\nabla \times \mathbf{B} = 0$$

$$\nabla \times \mathbf{B} = 0$$

$$\nabla \times \mathbf{B} = \mu_0 \mathbf{J}$$

$$\mathbf{E} = -\nabla V$$

$$\mathbf{B} = \nabla \times \mathbf{A}$$

$$V(\mathbf{x}) = \frac{1}{4\pi\varepsilon_0} \int_V \frac{\rho(\mathbf{x}')}{|\mathbf{x} - \mathbf{x}'|} dV$$

$$\mathbf{A}(\mathbf{x}) = \frac{\mu_0}{4\pi} \int_V \frac{\mathbf{J}(\mathbf{x}')}{|\mathbf{x} - \mathbf{x}'|} dV$$

Magnétostatique:

Conservation de la charge:  $\nabla \cdot \mathbf{J} + \frac{\partial \rho}{\partial t} = 0$ 

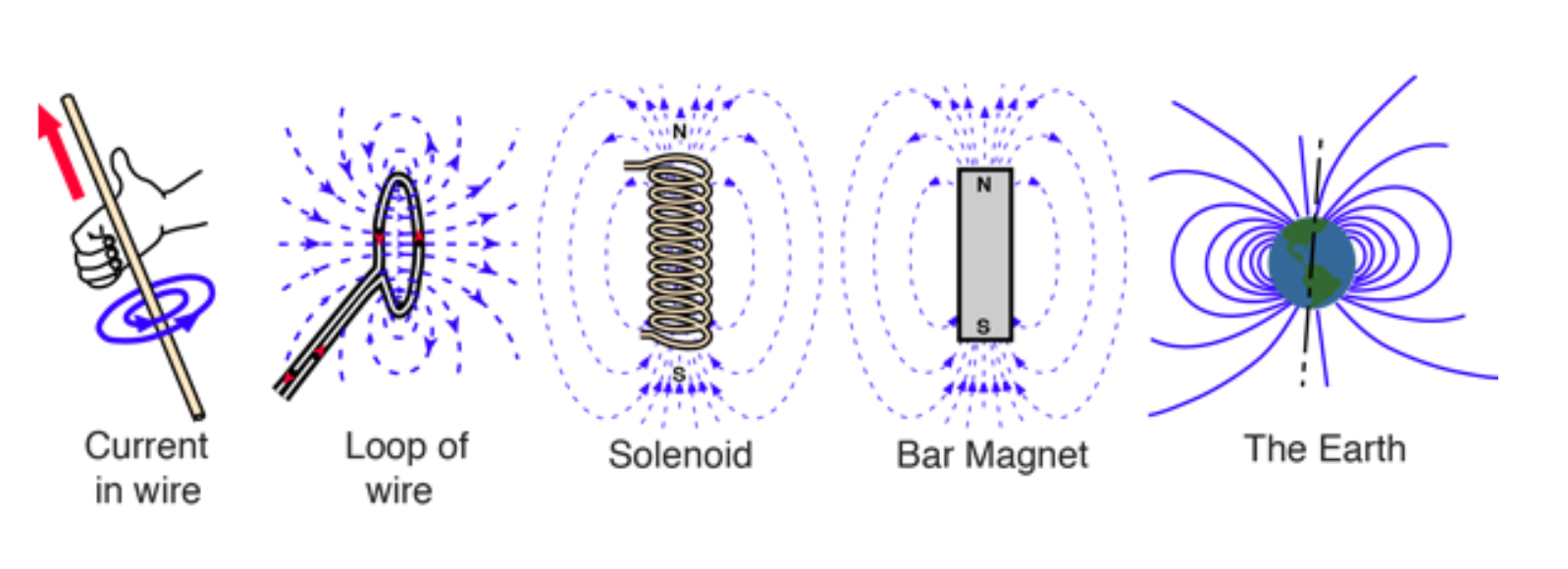
En regime "statique" :  $\frac{\partial \rho}{\partial t} = 0$ 

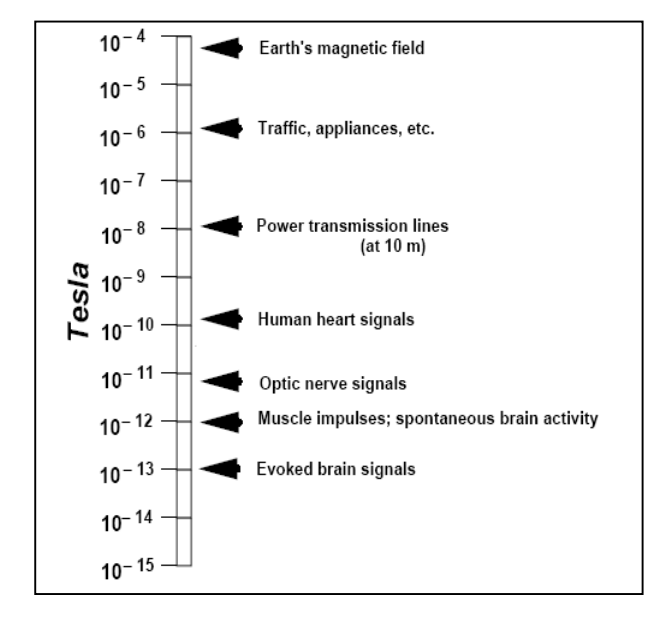
**⇒** 

 $\nabla \cdot \mathbf{J} = 0$ 

## Sources du champ magnétique

Mouvement des charges électrique Moments magnétiques intrinsèques des particules (électrons, protons, neutrons ...)





Bobines avec courant: < 100 T typ.

Aimant permanent: < 10 T typ.

Terre (sur la surface):  $\sim 0.1 \text{ mT}$ 

Sources de champs «faible» (< 0.1 mT)

Une distribution de charges électriques statiques produit un champ électrique statique.

Une distribution de courants électriques stationnaires produit un champ magnétique statique.

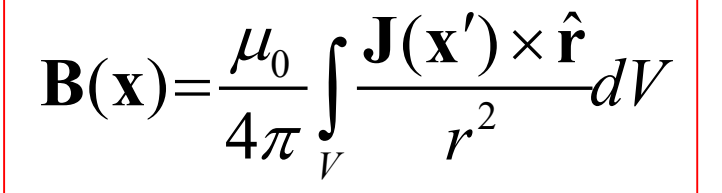
## Loi de Biot-Savart:

#### Le champ magnétique produit par un courant stationnaire

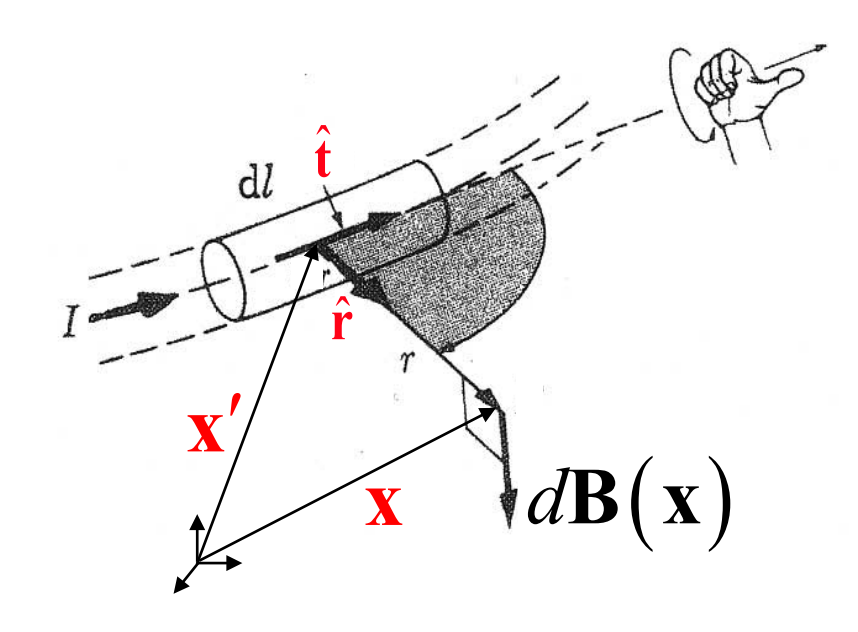
### Loi de Biot-Savart

$$d\mathbf{B}(\mathbf{x}) = \frac{\mu_0}{4\pi} \frac{\mathbf{J}(\mathbf{x}') \times \hat{\mathbf{r}}}{r^2} dV$$

Champ **B** produit par les courants dans un élément infinitésimal de volume *dV* 



Champ **B** produit par les courants dans le volume *V* 



Note: G 224: Une charge ponctuelle mobile ne produit pas un courant constant. Cela signifie qu'une charge ponctuelle ne produit pas un champ statique. Nous sommes obligés de faire face à des distributions de courants étendues.

#### Note 1: «Démonstration» de la loi de Biot-Savart à partir du potentiel vecteur A:

En condition statiques: 
$$\mathbf{A}(\mathbf{x}) = \frac{\mu_0}{4\pi} \int_V \frac{\mathbf{J}(\mathbf{x}')}{|\mathbf{x} - \mathbf{x}'|} dV$$

 $\Rightarrow$ 

**EPFL** 

$$\mathbf{B}(\mathbf{x}) = \nabla \times \mathbf{A}(\mathbf{x}) = \frac{\mu_0}{4\pi} \int_{V} \nabla \times \left( \frac{\mathbf{J}(\mathbf{x}')}{|\mathbf{x} - \mathbf{x}'|} \right) dV$$

Math.: 
$$\nabla \times (f \mathbf{V}) = f(\nabla \times \mathbf{V}) + \nabla f \times \mathbf{V}$$

$$\nabla \times \left(\frac{\mathbf{J}(\mathbf{x}')}{|\mathbf{x} - \mathbf{x}'|}\right) = \left(\frac{1}{|\mathbf{x} - \mathbf{x}'|}\right) \left(\nabla \times \mathbf{J}(\mathbf{x}')\right) + \nabla \left(\frac{1}{|\mathbf{x} - \mathbf{x}'|}\right) \times \mathbf{J}(\mathbf{x}')$$

Le "curl" est par rapport à la coordonnée x et mais: J(x') est un constante par rapport à x.

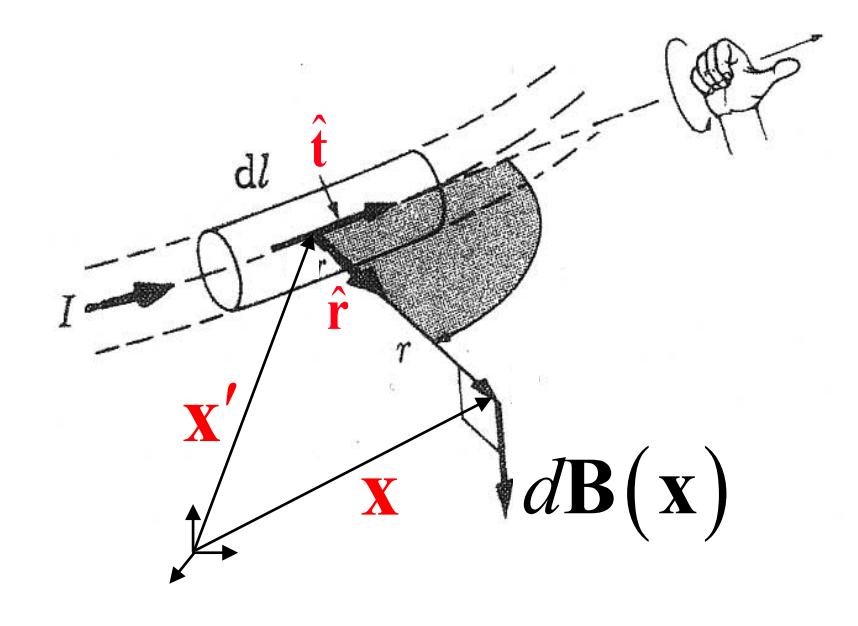
$$\nabla \times \mathbf{J}(\mathbf{x}') = 0$$

$$\nabla \left( \frac{1}{|\mathbf{x} - \mathbf{x}'|} \right) = \frac{\hat{\mathbf{r}}}{r^2} \qquad (\mathbf{r} = \mathbf{x} - \mathbf{x}'; \ \hat{\mathbf{r}} = \frac{\mathbf{r}}{r})$$

$$(\mathbf{r} = \mathbf{x} - \mathbf{x}'; \hat{\mathbf{r}} = \frac{\mathbf{r}}{r})$$

$$\mathbf{B}(\mathbf{x}) = \frac{\mu_0}{4\pi} \int_{V} \frac{\mathbf{J}(\mathbf{x}') \times \hat{\mathbf{r}}}{r^2} dV$$

$$d\mathbf{B}(\mathbf{x}) = \frac{\mu_0}{4\pi} \frac{\mathbf{J}(\mathbf{x}') \times \hat{\mathbf{r}}}{r^2} dV$$



7.6 G 227, Z 304



#### Note 2:

Equations équivalentes

$$d\mathbf{B}(\mathbf{x}) = \frac{\mu_0}{4\pi} \frac{\mathbf{J} \times \hat{\mathbf{r}}}{r^2} dV \; ; \qquad \mathbf{J} = \frac{I}{S} \hat{\mathbf{t}} \; ; \; dV = Sdl$$

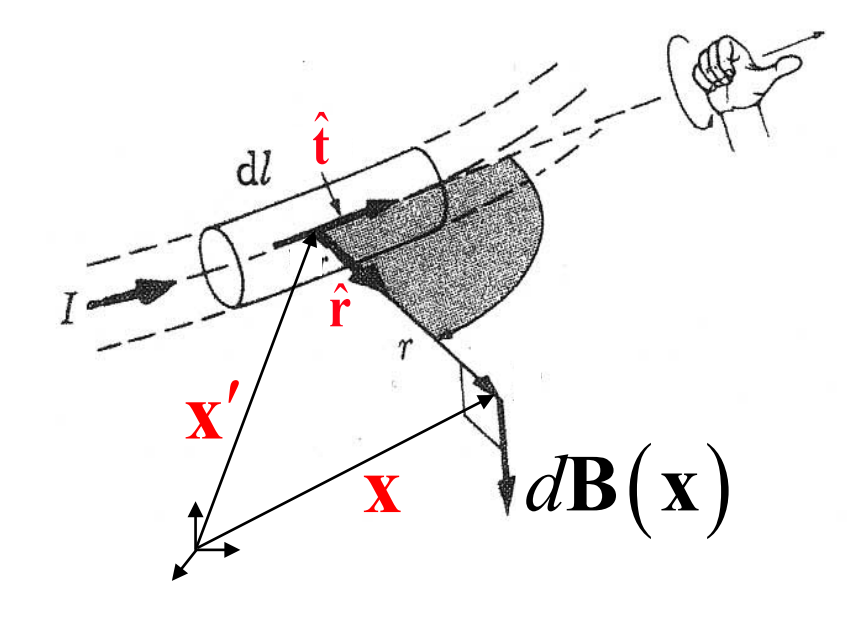
$$\Rightarrow d\mathbf{B}(\mathbf{x}) = \frac{\mu_0}{4\pi} \frac{Idl}{r^2} \hat{\mathbf{t}} \times \hat{\mathbf{r}}$$

#### Note 3:

Analogie champ électrostatique/champ magnétostatique

$$d\mathbf{E}(\mathbf{x}) = \frac{1}{4\pi\varepsilon_0} \frac{\rho dV}{r^2} \hat{\mathbf{r}} \qquad d\mathbf{B}(\mathbf{x}) = \frac{\mu_0}{4\pi} \frac{Idl}{r^2} \hat{\mathbf{t}} \times \hat{\mathbf{r}}$$

$$\mathbf{E}(\mathbf{x}) = \frac{1}{4\pi\varepsilon_0} \int_{V} \frac{\rho(\mathbf{x}')\hat{\mathbf{r}}}{r^2} dV \qquad \mathbf{B}(\mathbf{x}) = \frac{\mu_0}{4\pi} \int_{V} \frac{\mathbf{J}(\mathbf{x}') \times \hat{\mathbf{r}}}{r^2} dV$$



$$\mathbf{r} = \mathbf{x} - \mathbf{x}'; \quad \hat{\mathbf{r}} = \frac{\mathbf{r}}{r}$$

### Note 4:

Champ magnétique crée par un circuit fermé avec courant *I* 

$$\mathbf{B}(\mathbf{r}) = \frac{\mu_0 I}{4\pi} \oint_C \frac{\hat{\mathbf{t}} \times \hat{\mathbf{r}}}{r^2} dl$$

## Loi d'Ampère

Equation de (Maxwell)-Ampère: 
$$\oint_C \mathbf{B} \cdot d\mathbf{l} = \mu_0 \int_S \mathbf{J} \cdot d\mathbf{s} + \mu_0 \varepsilon_0 \int_S \frac{\partial \mathbf{E}}{\partial t} \cdot d\mathbf{s}$$

Conditions statiques: 
$$\frac{\partial \mathbf{E}}{\partial t} = 0$$

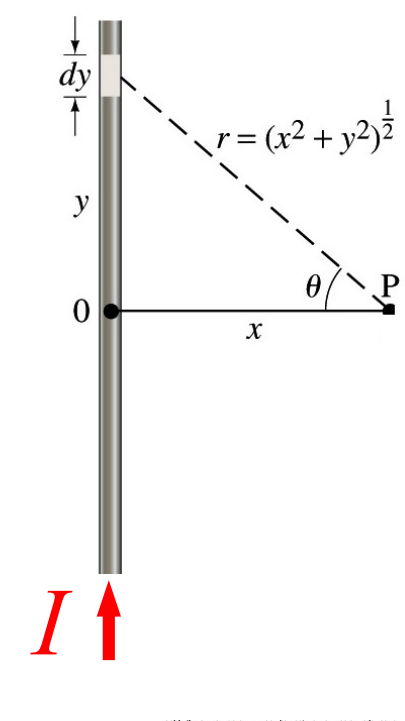
$$\Rightarrow$$

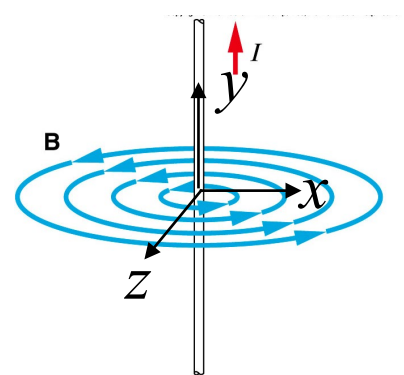
$$\oint_C \mathbf{B} \cdot d\mathbf{l} = \mu_0 \int_S \mathbf{J} \cdot d\mathbf{s}$$

En magnétostatique, la **loi d'Ampère** permet de déterminer la valeur du champ magnétique grâce à la donnée des courants électriques. Cette loi constitue l'équivalent magnétostatique de la loi de Gauss. Pour être appliqué analytiquement de manière simple, la loi d'Ampère nécessite que le problème envisagé soit de symétrie «élevée» (comme dans le cas de la loi de Gauss pour le champ électrique).

## Exercice: Courant dans un fil conducteur rectiligne infini

#### a. «Calcule» avec la loi de Biot-Savart infinitésimale





$$d\mathbf{B} = \frac{\mu_0}{4\pi} \frac{Idl}{r^2} \hat{\mathbf{t}} \times \hat{\mathbf{r}} \implies d\mathbf{B}(x, y, 0) = \frac{\mu_0}{4\pi} \frac{Idy}{(x^2 + y^2)} \hat{\mathbf{y}} \times \hat{\mathbf{r}}$$

$$\Rightarrow$$

$$y = xtg\theta \Rightarrow \frac{dy}{d\theta} = \frac{d}{d\theta} xtg\theta = x \frac{1}{\cos^2 \theta} \Rightarrow dy = x \frac{d\theta}{\cos^2 \theta} = x (1 + tg^2\theta) d\theta$$

$$\Rightarrow$$

$$d\mathbf{B}(x,y,0) = \frac{\mu_0}{4\pi} \frac{Idy}{(x^2 + y^2)} \hat{\mathbf{y}} \times \hat{\mathbf{r}} =$$

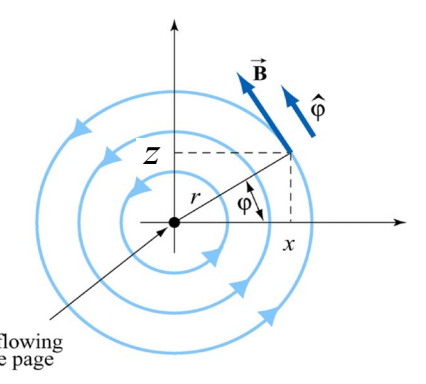
$$= \frac{\mu_0}{4\pi} \frac{I}{x^2 (1 + tg^2 \theta)} x (1 + tg^2 \theta) \cos \theta d\theta \hat{\mathbf{\varphi}}$$

$$=\frac{\mu_0}{4\pi}\frac{I}{x}\cos\theta d\theta\hat{\mathbf{\varphi}}$$

 $\Rightarrow$ 

$$\mathbf{B}(x,y,0) = \frac{\mu_0}{4\pi} \frac{I}{x} \hat{\mathbf{\phi}} \int_{-\pi/2}^{\pi/2} \cos\theta d\theta = \frac{\mu_0}{2\pi} \frac{I}{x} \hat{\mathbf{\phi}}_{\text{out out}}$$

$$\mathbf{B}(x,y,z) = \frac{\mu_0}{2\pi} \frac{I}{\sqrt{x^2 + z^2}} \hat{\mathbf{\phi}}$$



#### **EPFL**

## b. «Calcule» avec la forme intégrale de l'équation de Maxwell-Ampere (loi d'Ampere)

Equation de Maxwell (loi d'Ampere):  $\oint_C \mathbf{B} \cdot d\mathbf{l} = \mu_0 \int_S \mathbf{J} \cdot d\mathbf{s} + \mu_0 \varepsilon_0 \int_S \frac{\partial \mathbf{E}}{\partial t} \cdot d\mathbf{s}$ 

Conditions statiques: 
$$\frac{\partial \mathbf{E}}{\partial t} = 0$$

La symétrie du problème permet de déterminer «intuitivement» la direction du champ **B** 

$$\Rightarrow \oint_C \mathbf{B} \cdot d\mathbf{l} = \mu_0 \int_S \mathbf{J} \cdot d\mathbf{s}$$

Symétrie cylindrique:  $\mathbf{B} = B\hat{\boldsymbol{\varphi}}$ 

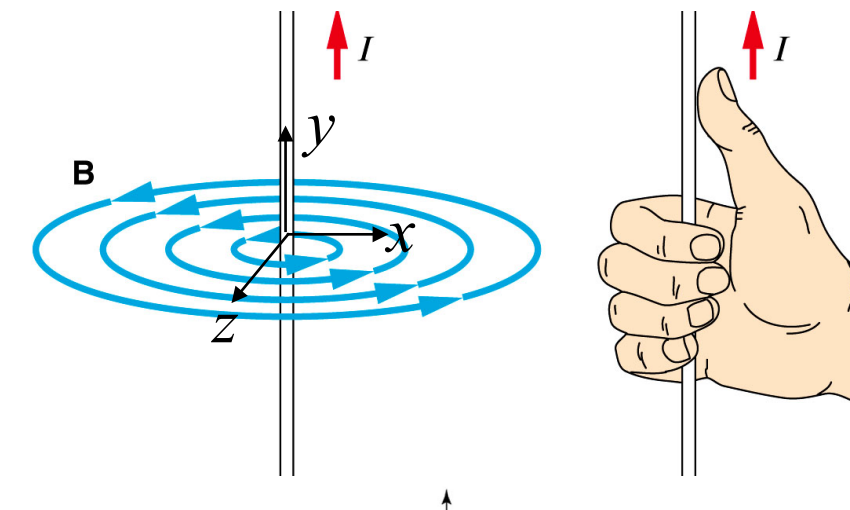
Courant dans le fil: 
$$\int_{S} \mathbf{J} \cdot d\mathbf{s} = \int_{S} \mathbf{J}_{f} \cdot d\mathbf{s} = I$$

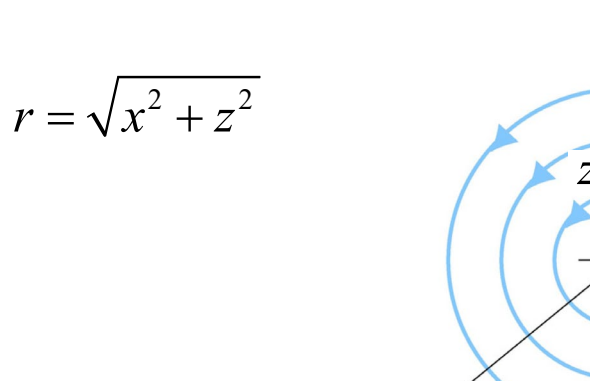
$$\Rightarrow \mu_0 \int_{S} \mathbf{J} \cdot d\mathbf{s} = \mu_0 I$$

Symétrie cylindrique:  $\mathbf{B} = B\hat{\mathbf{\phi}}$ 

$$\Rightarrow \qquad \oint_C \mathbf{B} \cdot d\mathbf{l} = 2\pi r B$$

$$\Rightarrow B = \frac{\mu_0 I}{2\pi r}$$

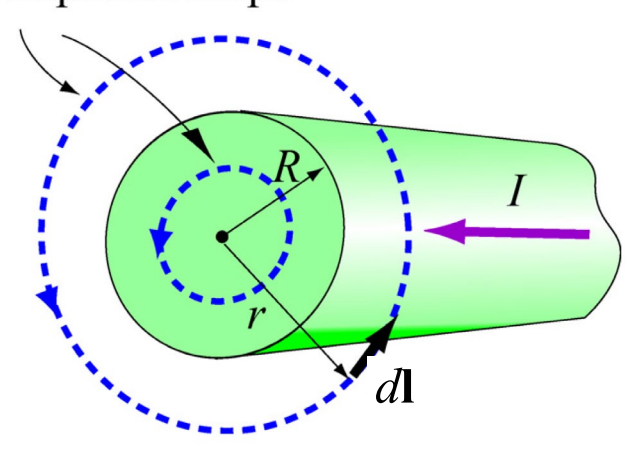


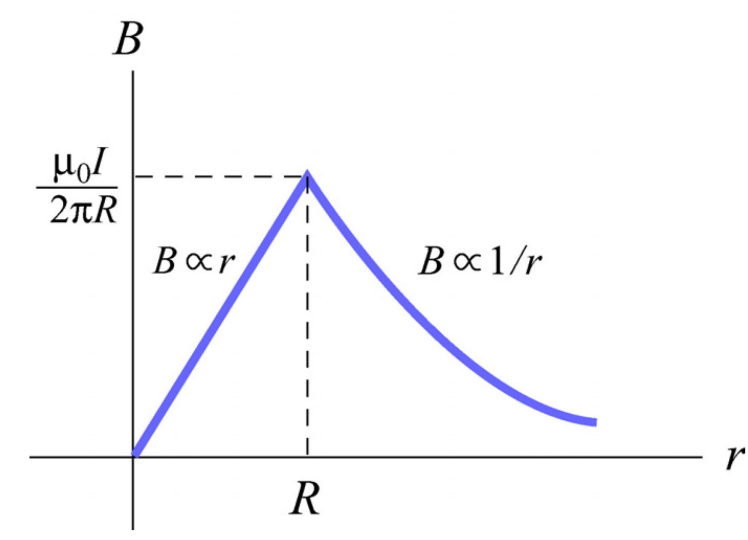


# Exercice: Champ à l'intérieur d'un fil rectiligne infini

«Calcule» avec la forme intégrale de l'équation de Maxwell (loi d'Ampere)

Amperian loops





Equation de Maxwell (loi d'Ampere): 
$$\oint_{C(r)} \mathbf{B} \cdot d\mathbf{l} = \mu_0 \int_{S(r)} \mathbf{J} \cdot d\mathbf{s} + \mu_0 \varepsilon_0 \int_{S(r)} \frac{\partial \mathbf{E}}{\partial t} \cdot d\mathbf{s}$$

Conditions statiques: 
$$\frac{\partial \mathbf{E}}{\partial t} = 0$$

Symétrie cylindrique: 
$$\mathbf{B} = B\hat{\mathbf{\phi}}$$

Pour  $r \le R$ :  $\int_{S(r)} \mathbf{J} \cdot d\mathbf{s} = \int_{S(r)} \mathbf{J}_f \cdot d\mathbf{s} = I \frac{\pi r^2}{\pi R^2} = I \frac{r^2}{R^2}$ 

La symétrie du problème permet de déterminer «intuitivement» la direction du champ B

$$\Rightarrow \oint_{C(r)} \mathbf{B} \cdot d\mathbf{l} = \mu_0 I \frac{r^2}{R^2}$$

$$\oint_{C(r)} \mathbf{B} \cdot d\mathbf{l} = 2\pi r B$$

$$\Rightarrow B = \frac{\mu_0 I}{2\pi} \frac{r}{R^2} \quad \text{(pour } r \le R\text{)}$$

## Champ magnétique créé par plusieurs courants

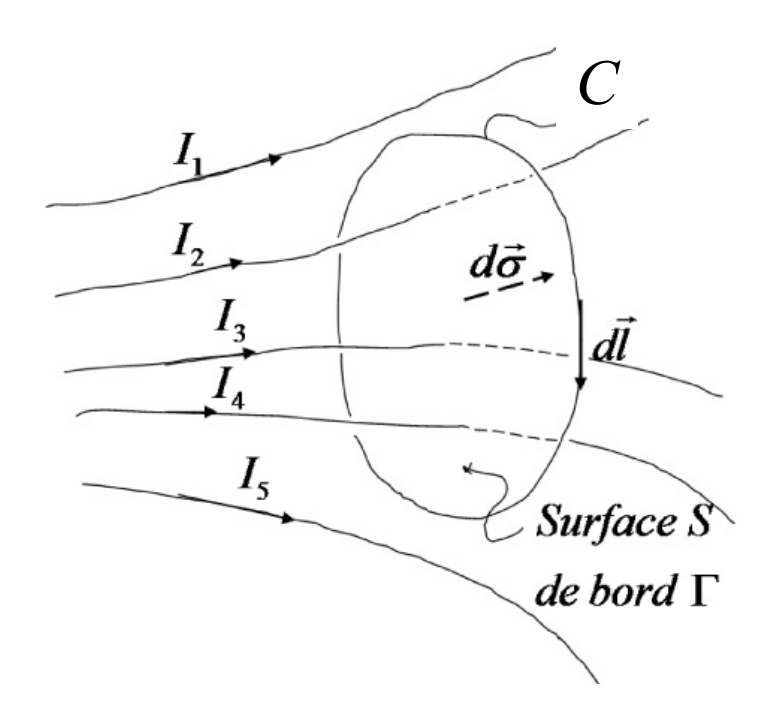
Equation de Maxwell (loi d'Ampere): 
$$\oint_C \mathbf{B} \cdot d\mathbf{l} = \mu_0 \int_S \mathbf{J} \cdot d\mathbf{s} + \mu_0 \varepsilon_0 \int_S \frac{\partial \mathbf{E}}{\partial t} \cdot d\mathbf{s}$$

Conditions statiques: 
$$\frac{\partial \mathbf{E}}{\partial t} = 0$$

$$\mu_0 \int_{S} \mathbf{J} \cdot d\mathbf{s} = \mu_0 \int_{S} \mathbf{J}_f \cdot d\mathbf{s} = \mu_0 \sum_{i} I_i$$

$$\oint_C \mathbf{B} \cdot d\mathbf{l} = \mu_0 \sum_i I_i$$

superposition





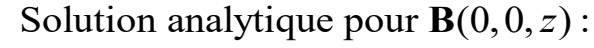
# Exercice: Champ magnétique produit par un courant dans une bobine planaire avec une seul spire

### «Calcule» avec la loi de Biot-Savart

Circuit fermée

$$\mathbf{B}(\mathbf{x}) = \frac{\mu_0}{4\pi} \int_{V} \mathbf{J}(\mathbf{x}') \times \frac{1}{|\mathbf{x} - \mathbf{x}'|^2} \frac{\mathbf{x} - \mathbf{x}'}{|\mathbf{x} - \mathbf{x}'|} dV = \frac{\mu_0 I}{4\pi} \oint_{C} \frac{\hat{\mathbf{t}} \times \hat{\mathbf{r}}}{r^2} dl$$

Pas de solution analytique (seulement solution numérique).



$$d\mathbf{B} = \frac{\mu_0}{4\pi} \frac{Idl}{r^2} \hat{\mathbf{t}} \times \hat{\mathbf{r}} \qquad \Rightarrow \quad dB_z = dB \sin \theta = \frac{\mu_0}{4\pi} \frac{Idl}{r^2} \sin \theta$$

$$r \sin \theta = R$$
 et  $r = \sqrt{z^2 + R^2} \implies \sin \theta = \frac{R}{\sqrt{z^2 + R^2}}$ 

 $\Rightarrow$ 

$$dB_z = dB \sin \theta = \frac{\mu_0}{4\pi} \frac{Idl}{r^2} \frac{R}{\sqrt{z^2 + R^2}} = \frac{\mu_0}{4\pi} \frac{IdlR}{(z^2 + R^2)^{3/2}}$$

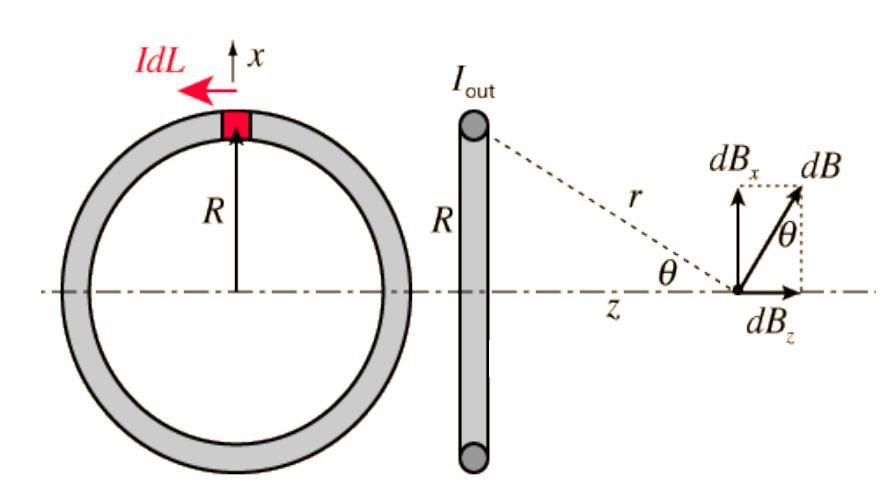
=

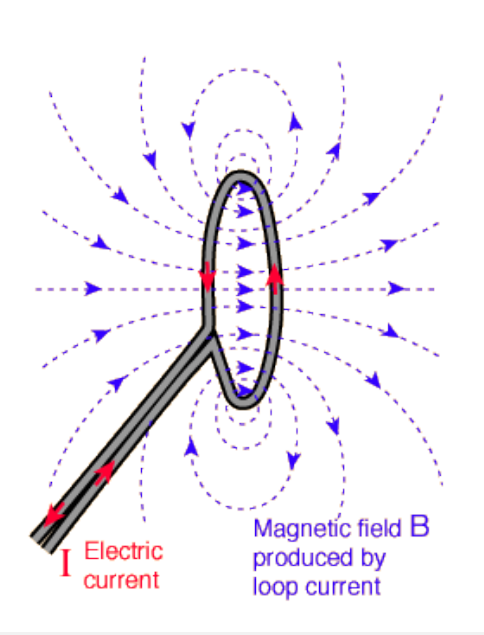
$$\mathbf{B}(0,0,z) = \hat{\mathbf{z}} \int_{0}^{2\pi R} dB_{z} = \hat{\mathbf{z}} \frac{\mu_{0}}{4\pi} \frac{IR}{\left(z^{2} + R^{2}\right)^{3/2}} \int_{0}^{2\pi R} dl = \frac{\mu_{0} IR^{2}}{2\left(R^{2} + z^{2}\right)^{3/2}} \hat{\mathbf{z}}$$



$$\mathbf{B}(0,0,z) = \frac{\mu_0 I R^2}{2(R^2 + z^2)^{3/2}} \hat{\mathbf{z}}$$

$$\mathbf{B}(0,0,0) = \frac{\mu_0 I}{2R} \hat{\mathbf{z}}$$



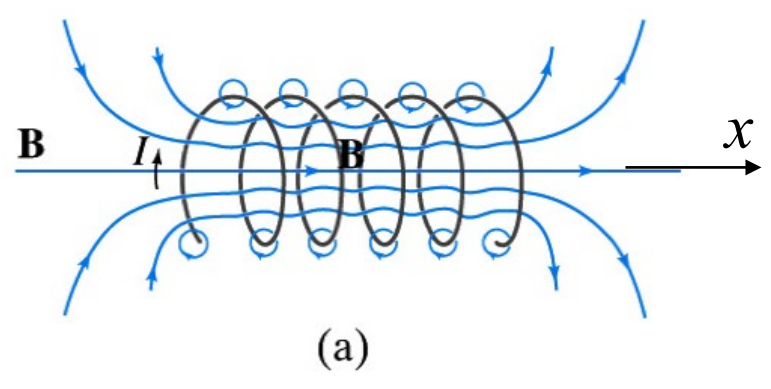


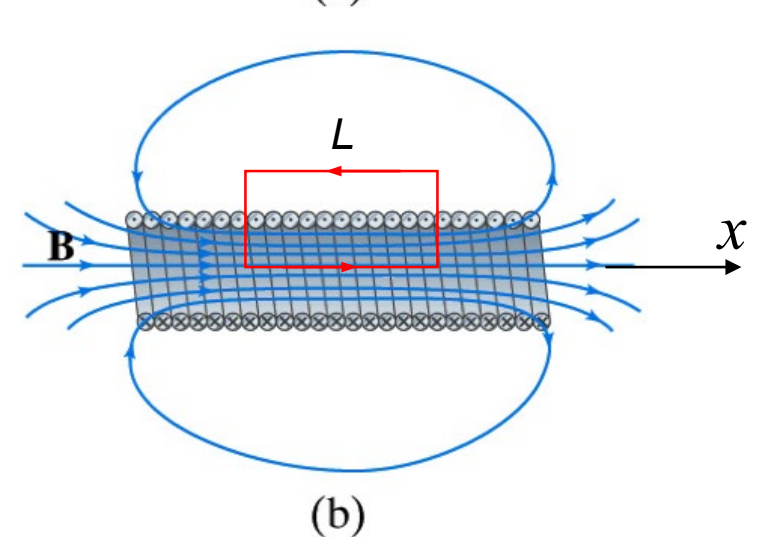
#### Notes:

- 1) La symétrie du problème n'est pas suffisante pour pouvoir utiliser la loi d'Ampère pour obtenir le champ magnétique (la loi d'Ampère est valable mais pour ce problème elle est "inutile")
- 2) Une expression analytique du champ ne peut être trouvée que le long de l'axe de la bobine.

# Exercice: Champ magnétique dans un long solénoïde vide

«Calcule» avec la forme intégrale de l'équation de Maxwell (loi d'Ampere)





Equation de Maxwell (loi d'Ampere) : 
$$\oint_C \mathbf{B} \cdot d\mathbf{l} = \mu_0 \int_S \mathbf{J} \cdot d\mathbf{s} + \mu_0 \varepsilon_0 \int_S \frac{\partial \mathbf{E}}{\partial t} \cdot d\mathbf{s}$$

Conditions statiques:  $\frac{\partial \mathbf{E}}{\partial t} = 0$ 

Pas de courant liés:  $\mu_0 \int_S \mathbf{J} \cdot d\mathbf{s} = \mu_0 \int_S \mathbf{J}_f \cdot d\mathbf{s}$ 

$$\oint_C \mathbf{B} \cdot d\mathbf{l} = \mu_0 \int_S \mathbf{J}_f \cdot d\mathbf{s}$$

La symétrie du problème permet de déterminer «intuitivement»

/ la direction du champ B

mais :  $\mathbf{B} \cong 0$  à l'extérieur (loin des bords);  $\mathbf{B} \cong B\hat{\mathbf{x}}$  à l'intérieur

$$\Rightarrow \oint_C \mathbf{B} \cdot d\mathbf{l} \cong BL + 0 + 0 + 0 = BL$$

Pas facile à démontrer rigoureusement

et: 
$$\mu_0 \int_{S} \mathbf{J}_f \cdot d\mathbf{s} = \mu_0 InI$$

*I*: courant

$$\Rightarrow$$

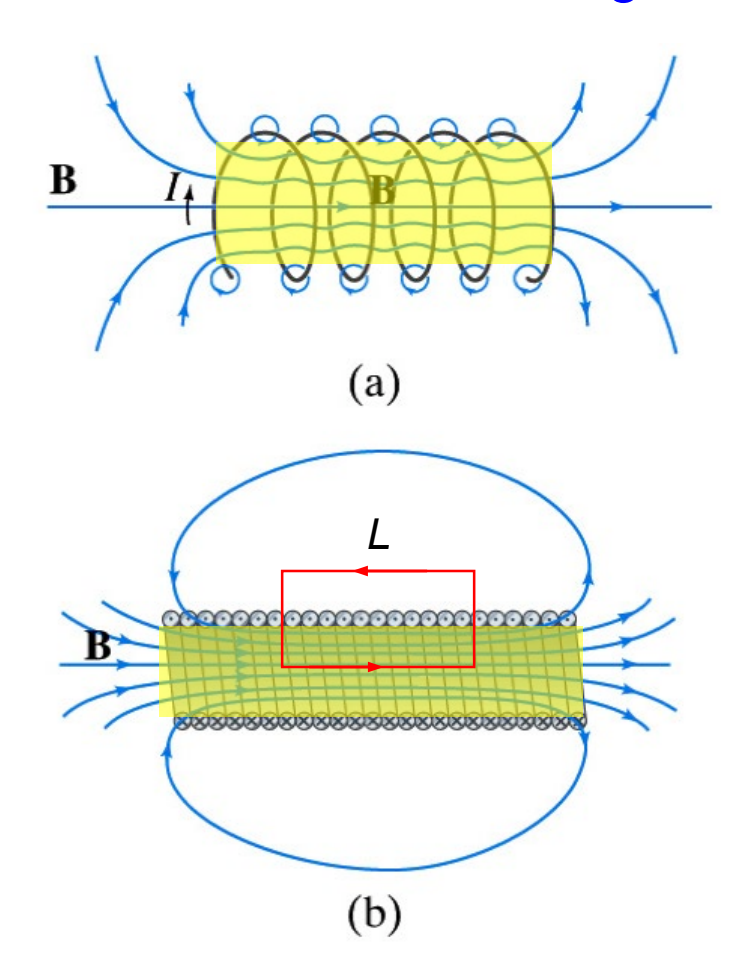
$$B = \mu_0 In$$

n: nombre de tours/m

Exemple: 
$$B=1 \text{ T}$$
;  $n=10^3/\text{m}$   $\Rightarrow I=\frac{B}{\mu_0 n} \approx 800 \text{ A}$ 

# Exercice: Champ dans un long solénoïde avec matériau magnétique linéaire

«Calcule» avec la forme intégrale de l'équation de Maxwell-Ampere (loi d'Ampere)



*I*: courant

n: nombre de tours par unité de longueur

μ: perméabilité magnétique

Equation de Maxwell : 
$$\oint_C \mathbf{H} \cdot d\mathbf{l} = \int_S \mathbf{J}_f \cdot d\mathbf{s} + \int_S \frac{\partial \mathbf{D}}{\partial t} \cdot d\mathbf{s}$$
Condition statiques:  $\frac{\partial \mathbf{D}}{\partial t} = 0$ 

Dans un matériau magnétique linéaire:  $\mathbf{B} = \mu \mathbf{H} = \mu_0 \mu_r \mathbf{H}$ 

$$\int_{S} \mathbf{J}_{f} \cdot d\mathbf{s} = InL$$

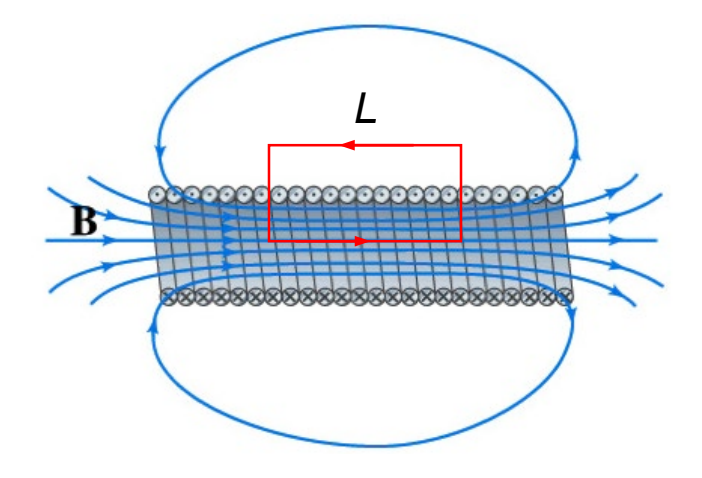
 $\mathbf{B} \cong 0$  à l'extérieur (loin des bords);  $\mathbf{B} \cong B\hat{\mathbf{x}}$  à l'intérieur  $\Rightarrow$ 

$$\oint_C \mathbf{B} \cdot d\mathbf{l} = \mu_0 \mu_r \oint_C \mathbf{H} \cdot d\mathbf{l} = \mu_0 \mu_r \int_S \mathbf{J}_f \cdot d\mathbf{s} = \mu_0 \mu_r InL$$

$$\oint_C \mathbf{B} \cdot d\mathbf{l} \cong BL + 0 + 0 + 0 = BL$$

$$B = \mu_0 \mu_r In$$

Solénoïde vide

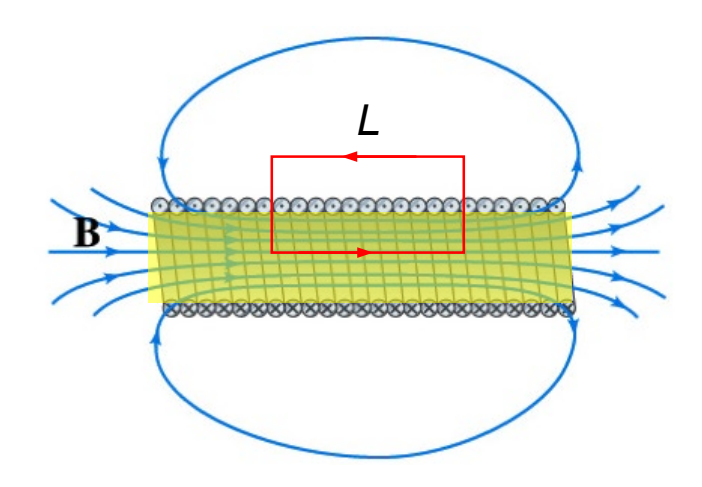


$$M = 0$$

$$H = nI$$

$$B = \mu_0 nI$$

# Solénoïde avec matériau magnétique linéaire

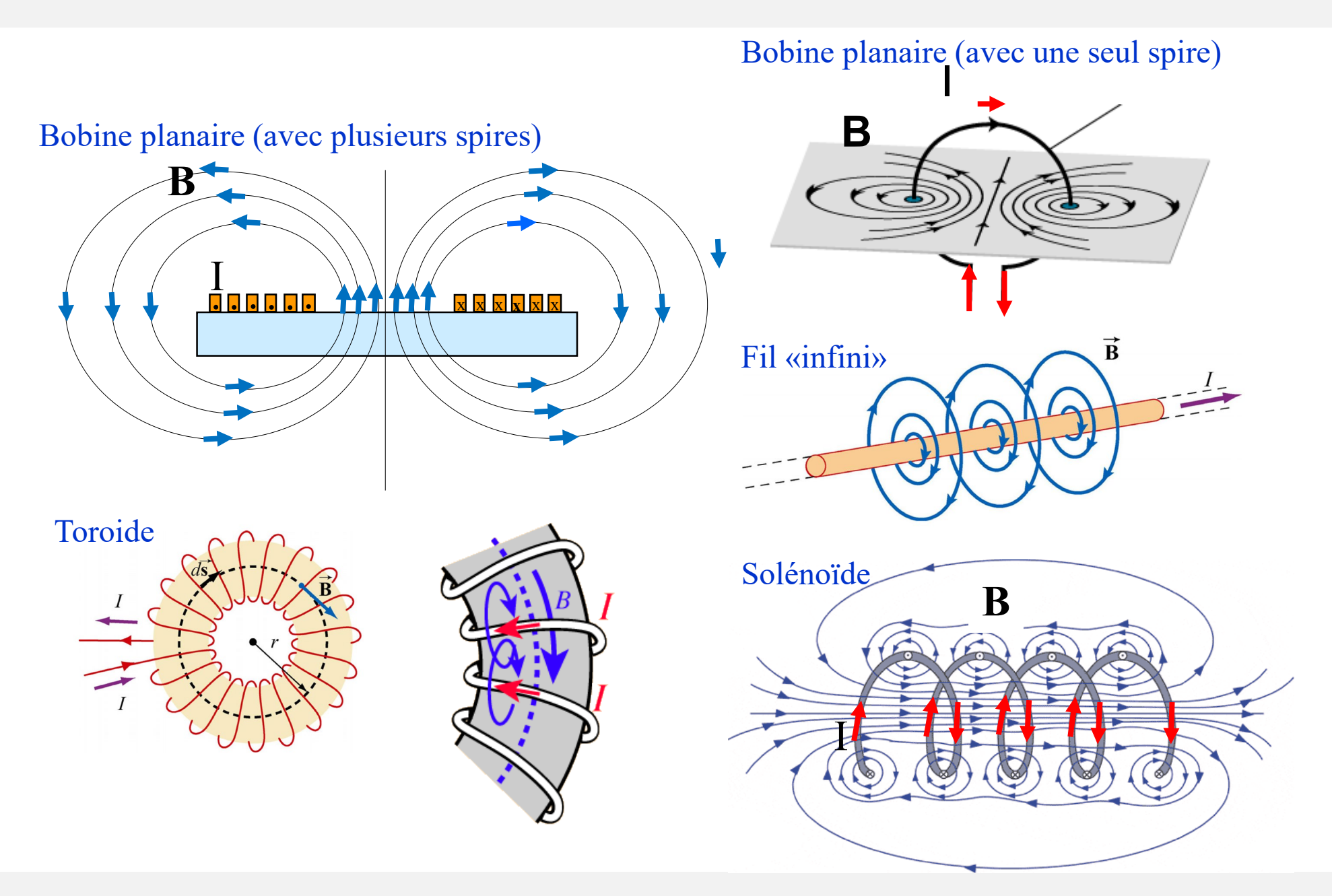


$$M = \chi H$$

$$H = nI$$

$$B = \mu_0(H + M) = \mu_0(1 + \chi)nI = \mu_0\mu_r In$$

# Champ magnétique produit par différents «structures»

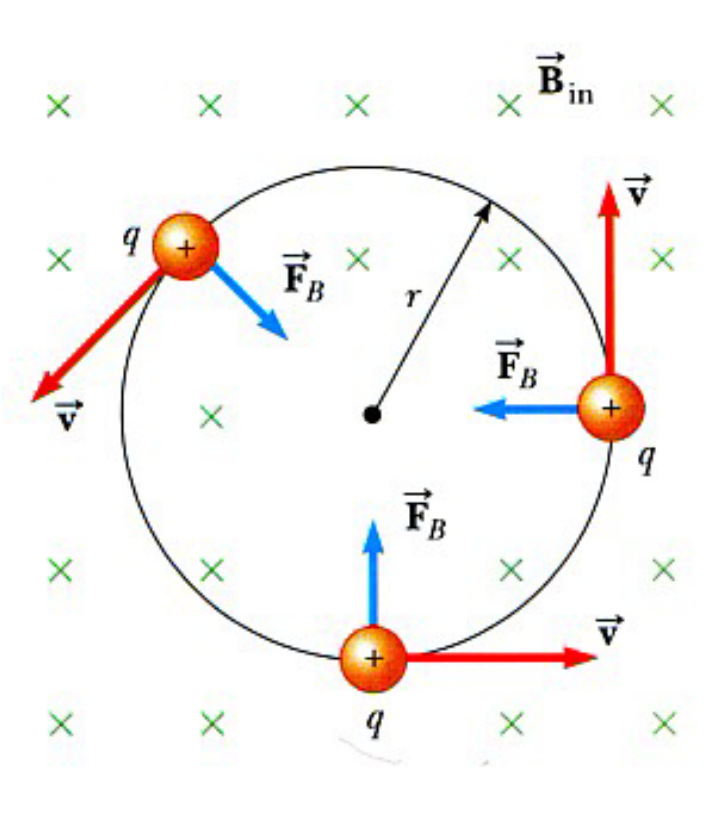




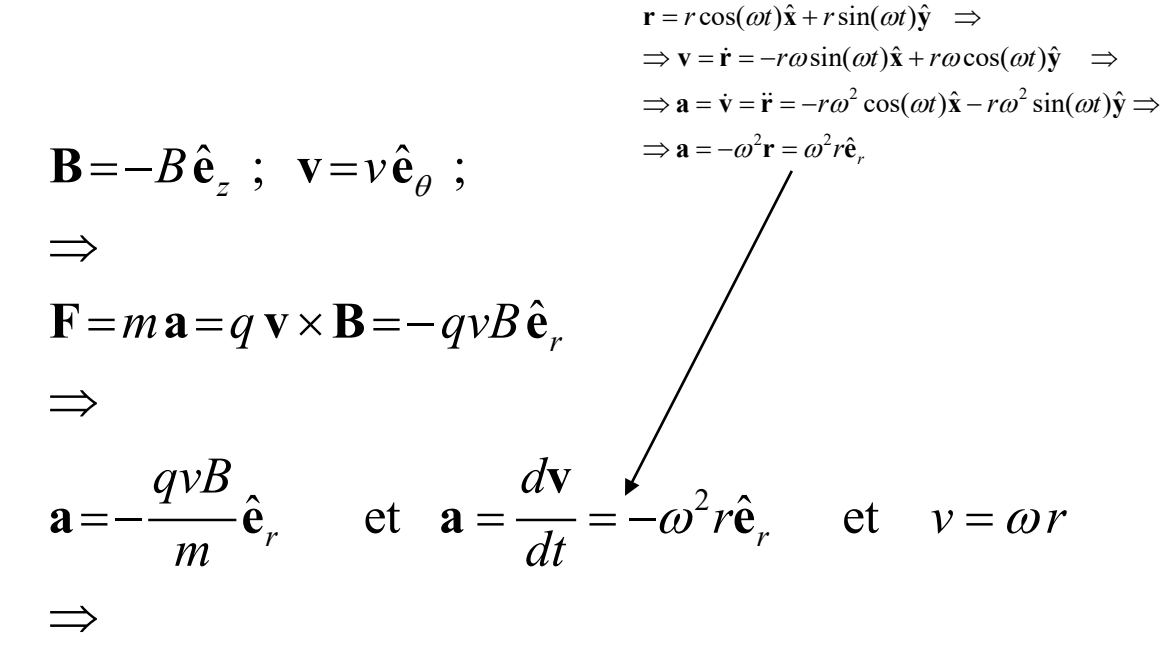
# Trajectoire d'une particule chargée dans un champ B

### 1. Champ B uniforme et vitesse v⊥B





$$\mathbf{\omega} = \frac{q}{m} \mathbf{B}$$



$$r = \frac{mv}{qB}$$

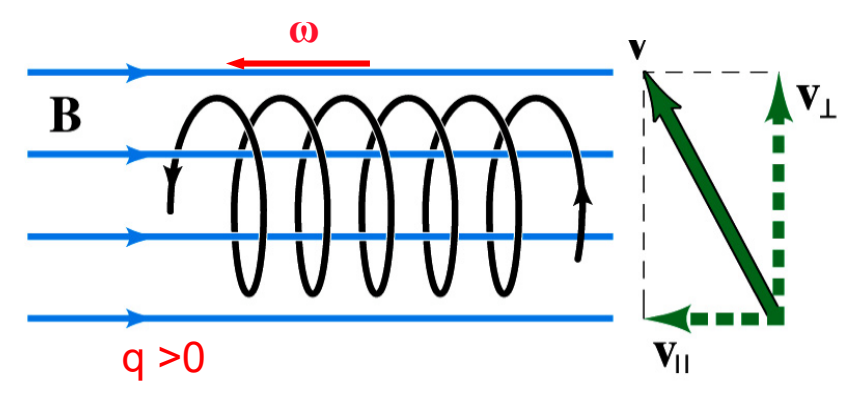
Rayon de Larmor

$$\omega = \frac{q}{m}B$$

Fréquence de cyclotron

#### **EPFL**

#### 2. Champ B uniforme et vitesse v arbitraire



Mouvement circulaire uniforme dans le plan perp. à **B** et

vitesse constante dans la direction de B

$$\mathbf{F} = m\frac{d\mathbf{v}}{dt} = q\mathbf{v} \times \mathbf{B} \; ; \quad \mathbf{B} = B\hat{\mathbf{e}}_{\parallel} \; ; \quad \mathbf{v} = v_{\parallel}\hat{\mathbf{e}}_{\parallel} + v_{\perp}\hat{\mathbf{e}}_{\perp}$$

$$\hat{\mathbf{e}}_{\parallel} \cdot \frac{d\mathbf{v}}{dt} = \frac{q}{m}\hat{\mathbf{e}}_{\parallel} \cdot (\mathbf{v} \times \mathbf{B}) = \frac{dv_{\parallel}}{dt} = 0 \quad \Rightarrow \quad v_{\parallel} = const$$

$$\mathbf{v} \cdot \frac{d\mathbf{v}}{dt} = \frac{q}{m}\mathbf{v} \cdot (\mathbf{v} \times \mathbf{B}) = 0 \quad \Rightarrow \quad \frac{d}{dt}(\mathbf{v} \cdot \mathbf{v}) = \frac{d}{dt}(v^{2}) = 0 \quad \Rightarrow \quad |\mathbf{v}| = const$$

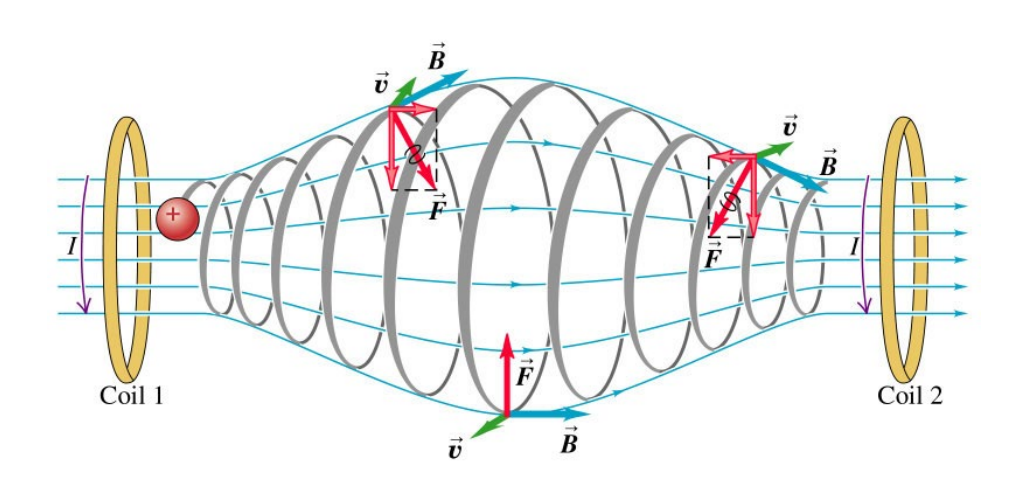
$$v_{\parallel}^{2} = v^{2} - v_{\parallel}^{2} = const \Rightarrow \quad v_{\parallel} = const$$

$$\mathbf{a} = \frac{d\mathbf{v}}{dt} = \frac{d(\mathbf{\omega} \times \mathbf{r})}{dt} = \mathbf{\omega} \times \mathbf{v}_{\perp} \quad \text{et} \quad \mathbf{a} = \frac{\mathbf{F}}{m} = \frac{q}{m} \mathbf{v}_{\perp} \times \mathbf{B} \quad \Rightarrow \quad \mathbf{\omega} = -\frac{q}{m} \mathbf{B}$$

$$v_{\perp} = \omega r \quad \Rightarrow \quad r = \frac{m v_{\perp}}{q B}$$

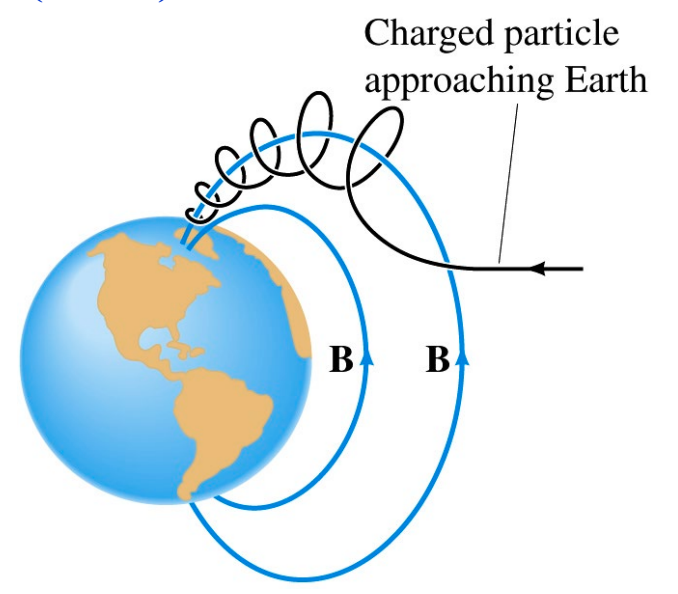
Z 366 7.19

### 4. «Miroir» magnétique (Z 375)



L'effet de miroir résulte de la tendance pour des particules chargées de rebondir en arrière depuis la région où le champ est fort (confinement magnétique).

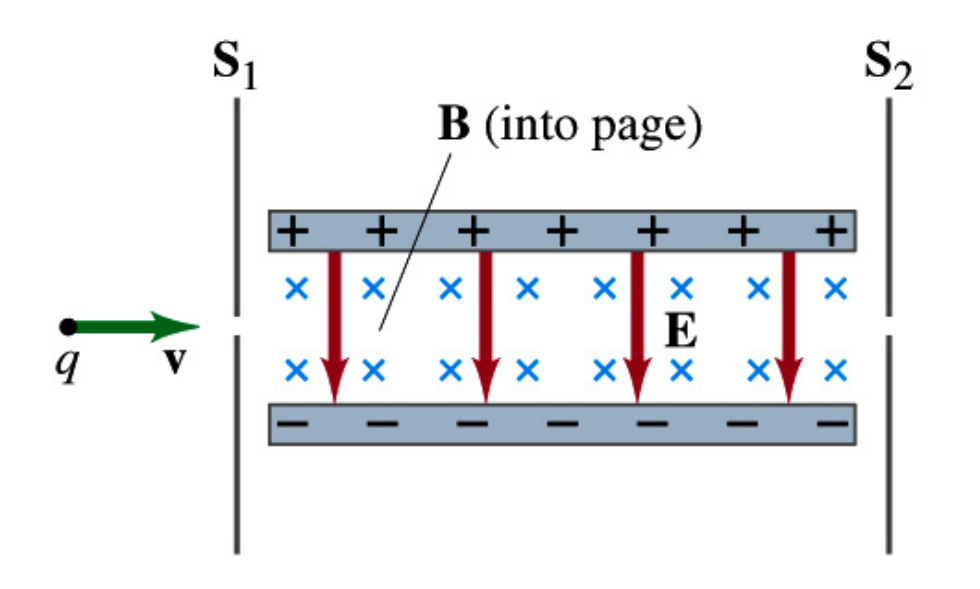
# 5. Particules chargées qui se rapprochent de la Terre (Z 378)

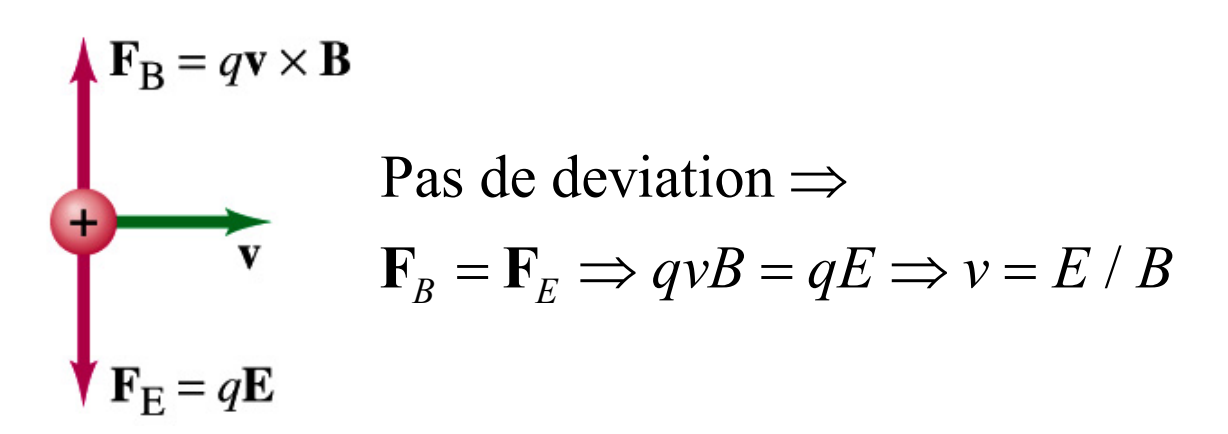


Les électrons et les protons du soleil sont piégés par le champ magnétique terrestre. Une particule chargée spirale entre deux miroirs magnétiques près des pôles Nord et Sud. Ces particules entre en collision avec les atomes et les molécules dans l'atmosphère. La désexcitation de ces atomes et molécules crée l'Aurora.

 $Z_{375}$ 

### 6. Sélecteur de vitesse

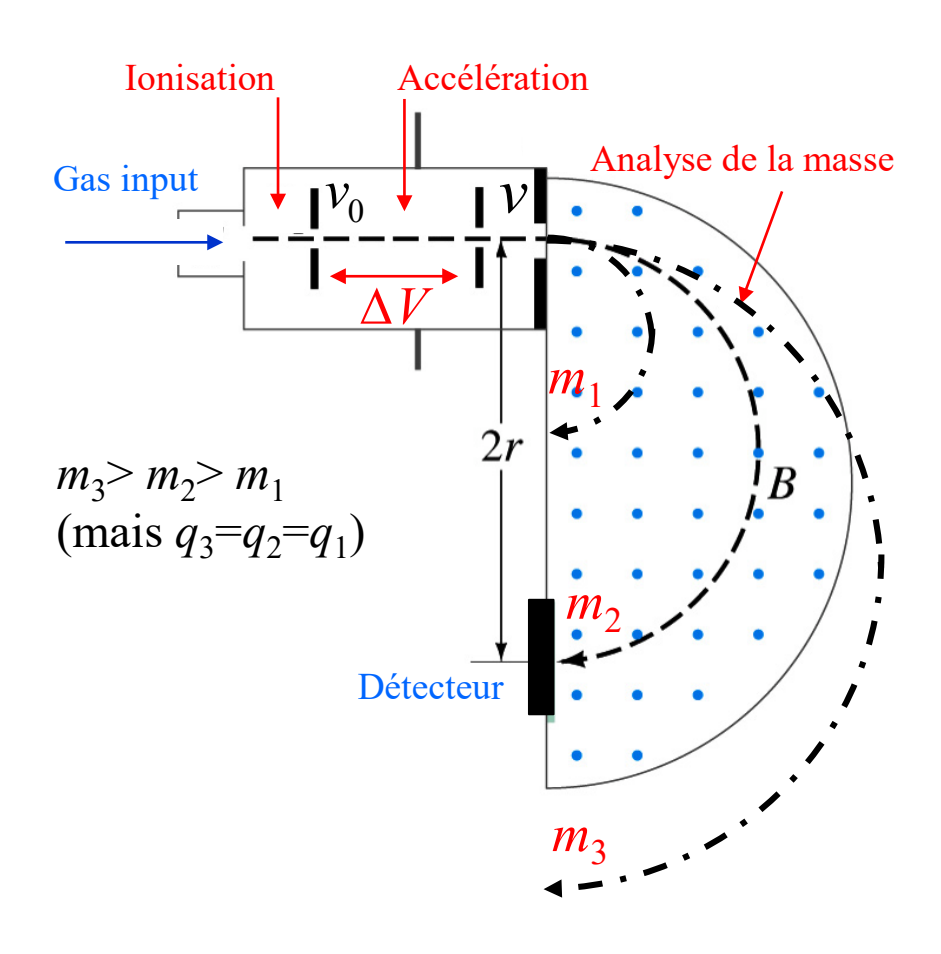




Les particules passant le trou central de  $S_2$  (c'est-à-dire les particules "sélectionnées") ont une vitesse:

$$v = \frac{E}{B}$$

## 7. Spectromètre de masse



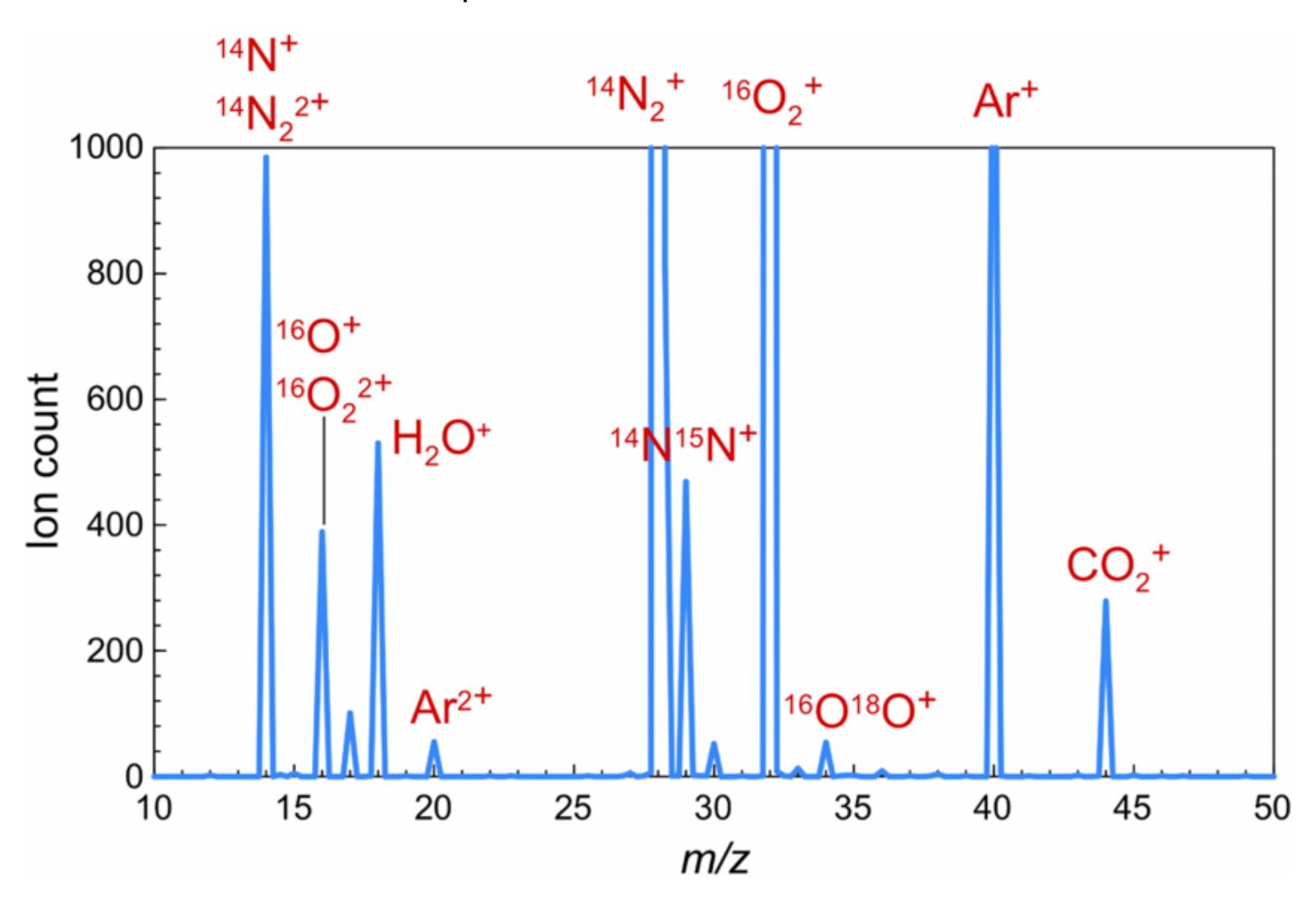
Ionisation: atomes  $\rightarrow$  ions

(par bombardement avec faisceau d'électrons)

Accélération:  $v_0 \cong 0; \quad \frac{1}{2}mv^2 = q\Delta V;$ 

Analyse de la masse:  $r = \frac{mv}{qB} = \frac{1}{B} \left(\frac{2m}{q} \Delta V\right)^{1/2}$ 

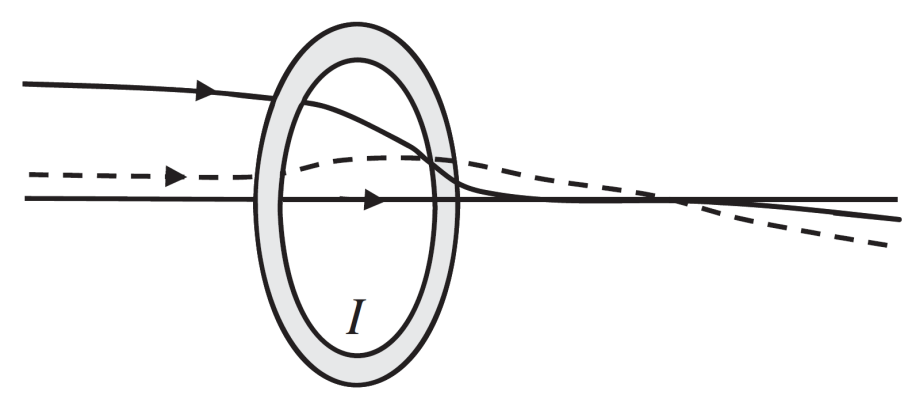
## Spectre de masse de l'air



#### 8. Lentille magnétique pour le microscope électronique (Z 358)

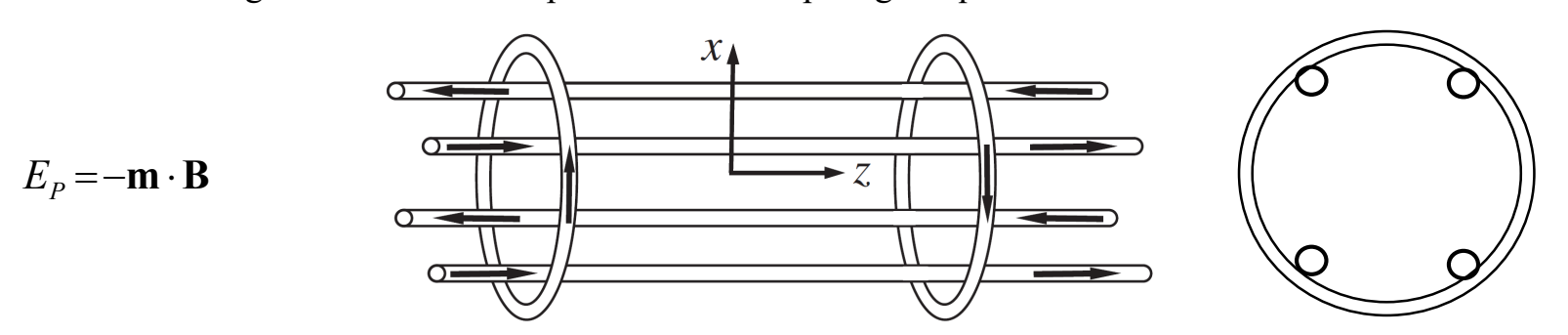
Les particules chargées (électrons) avec des trajectoires initialement parallèles (ou presque parallèles) sont focalisées par une boucle de

courant circulaire.



### 9. Magnetic trapping (Piège magnétique) (Z 377)

Le piégeage au minimum local du champ magnétique se produit pour les atomes dont le moment angulaire total est anti-parallèle au champ magnétique local.



**Figure 12.9:** The Ioffe-Pritchard configuration produces a minimum of  $|\mathbf{B}(\mathbf{r})|$  at its center. Arrows indicate the direction of current flow in each wire.

#### Note:

- 1) le piège Ioffe-Pritchard est conçu pour piéger des particules **neutres** mais avec **moment magnetic non nulle.**
- 2) Il est impossible de produire un maximum local de la magnitude du champ magnétique dans l'espace libre. Cela signifie qu'il n'est pas possible de piéger une particule avec un moment magnétique parallèle au champ magnétique local.

# Force et couple sur une distribution de courants dans un champ B

$$\mathbf{F} = \int_{V} (\rho(\mathbf{r}) \mathbf{E}(\mathbf{r}) + \mathbf{J}(\mathbf{r}) \times \mathbf{B}(\mathbf{r})) dV$$

$$\mathbf{N} = \int_{V} (\mathbf{r} \times \rho(\mathbf{r}) \mathbf{E}(\mathbf{r}) + \mathbf{r} \times (\mathbf{J}(\mathbf{r}) \times \mathbf{B}(\mathbf{r}))) dV$$

 $\Rightarrow$ 

Pour  $\rho(\mathbf{r})=0$  et/ou  $\mathbf{E}(\mathbf{r})=0$ :

$$\mathbf{F} = \int_{V} \mathbf{J}(\mathbf{r}) \times \mathbf{B}(\mathbf{r}) dV$$

$$\mathbf{N} = \int_{V} \mathbf{r} \times (\mathbf{J}(\mathbf{r}) \times \mathbf{B}(\mathbf{r})) dV$$

Z 365

# Force magnétique sur un conducteur parcouru par un courant dans un champ B

$$d\mathbf{l} = dl\hat{\mathbf{t}}$$
  $\mathbf{S} = S\hat{\mathbf{t}}$   
 $\mathbf{J} = nq\mathbf{v} = nqv\hat{\mathbf{t}}$   $\mathbf{J} = (I/S)\hat{\mathbf{t}}$ 

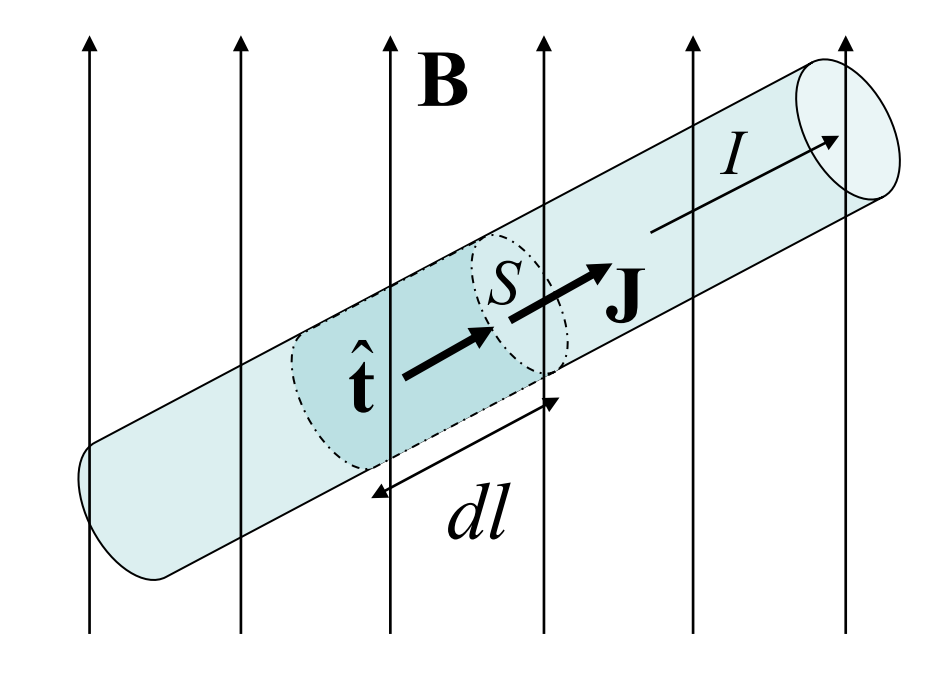
n: densité des particules chargées "mobiles" (m<sup>-3</sup>)

q: charge de la particule "mobile" (C)

Force sur le volume *dlS*:

$$\sum_{i} (q_{i} \mathbf{v}_{i} \times \mathbf{B}) = (\mathbf{v} \times \mathbf{B}) \sum_{i} q_{i} =$$

$$= (\mathbf{v} \times \mathbf{B}) nqdlS = nq\mathbf{v} \times \mathbf{B}dlS = \mathbf{J} \times \mathbf{B}dlS = l\hat{\mathbf{t}} \times \mathbf{B}dl$$



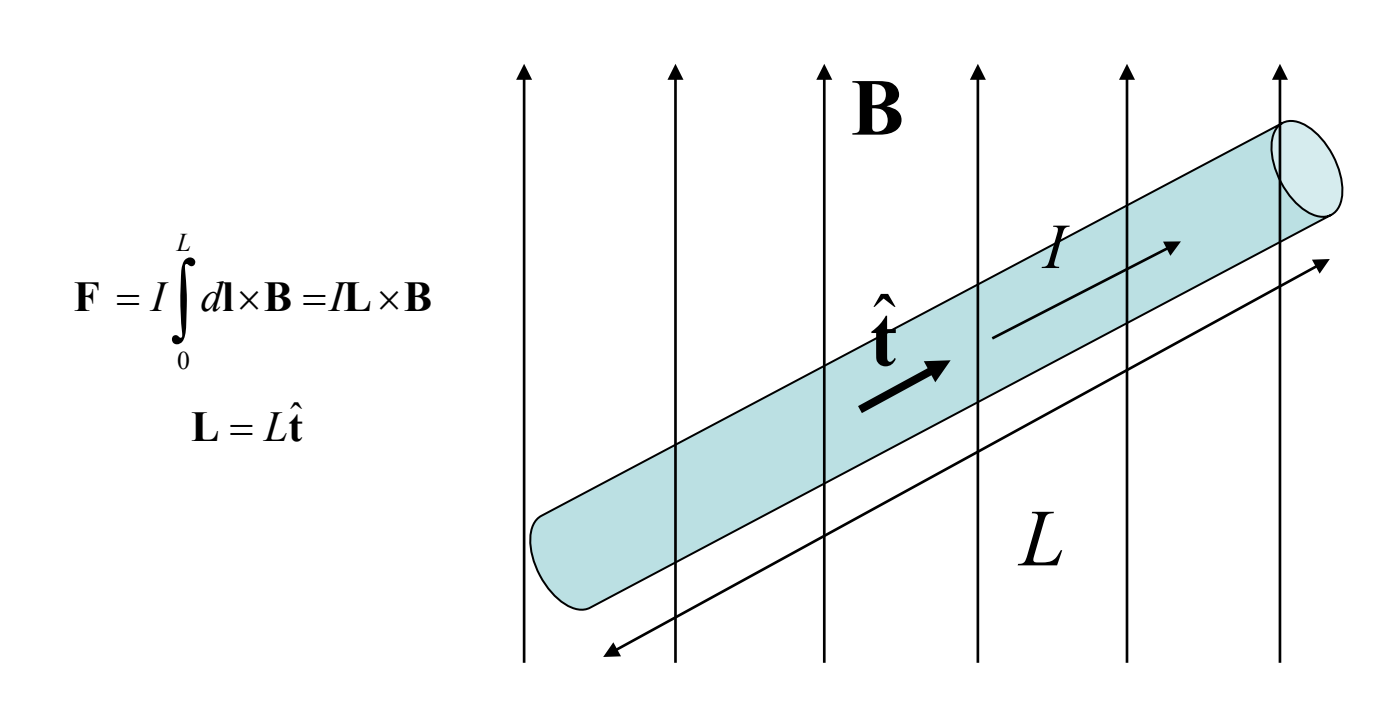
**f**: Force par unité de volume

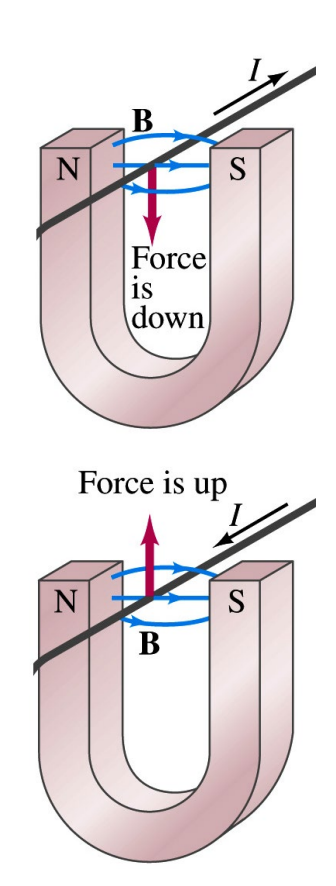
**F**: Force totale sur le fil de longueur *L* 

$$\mathbf{f} = nq\mathbf{v} \times \mathbf{B} = \mathbf{J} \times \mathbf{B}$$
  $\Rightarrow$   $\mathbf{F} = \int_{V} \mathbf{J} \times \mathbf{B} \, dV = I \int_{L} \hat{\mathbf{t}} \times \mathbf{B} \, dl = I \int_{L} d\mathbf{l} \times \mathbf{B}$ 

La force sur un conducteur est la force de Lorentz sur les charges électriques en mouvement.

### Exemple 1.: Fil rectiligne de longueur L dans un champ B uniforme





## Exemple 2.: Circuit fermé (de forme quelconque) dans un champ B uniforme

$$\mathbf{F} = I \oint \hat{\mathbf{t}} \times \mathbf{B} = -I\mathbf{B} \times \oint d\mathbf{l} = 0$$

La force résultante est nulle sur un circuit fermé de forme quelconque dans un champ **B** <u>uniforme</u>

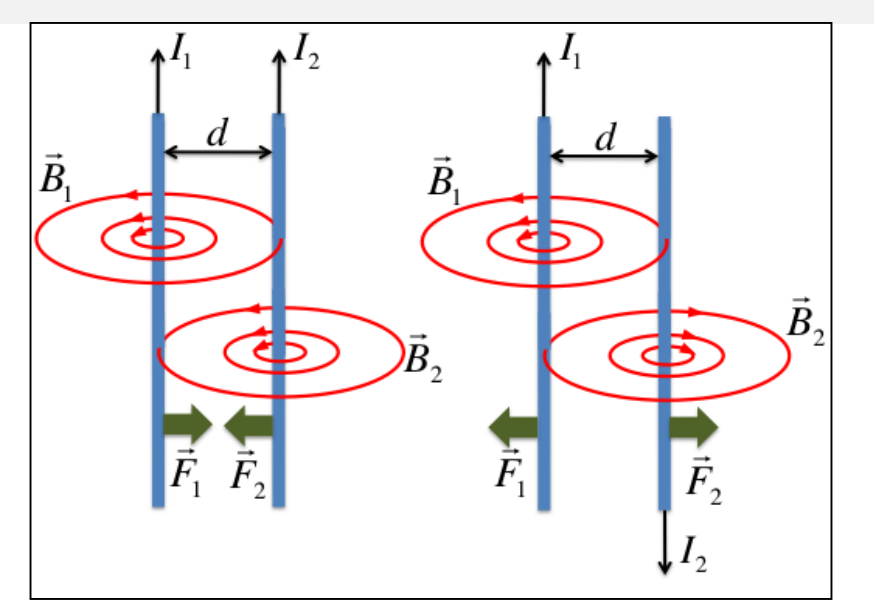
### **Exemple 3:** Force entre deux fils parallèles infinis

$$\mathbf{B} = \frac{\mu_0}{2\pi} \frac{I}{r} \hat{\mathbf{\phi}}$$

$$\mathbf{F} = q\mathbf{v} \times \mathbf{B}$$

$$\mathbf{B}_{1} = \frac{\mu_{0}}{2\pi} \frac{I_{1}}{d} \hat{\mathbf{\phi}}$$

$$\mathbf{B}_{1} = \frac{\mu_{0}}{2\pi} \frac{I_{1}}{d} \hat{\mathbf{\phi}} \qquad \mathbf{B}_{2} = -\frac{\mu_{0}}{2\pi} \frac{I_{2}}{d} \hat{\mathbf{\phi}}$$



$$d\mathbf{F}_{1} = \left(\sum_{dl} q_{i}\right) \mathbf{v}_{1} \times \mathbf{B}_{2} = (nqSdl) \mathbf{v}_{1} \times \mathbf{B}_{2} = I_{1} d\mathbf{I} \times \mathbf{B}_{2} = \frac{\mu_{0}}{2\pi} \frac{I_{1}I_{2}}{d} dl \mathbf{\hat{d}}$$

$$d\mathbf{F}_{2} = \left(\sum_{dl} q_{i}\right) \mathbf{v}_{2} \times \mathbf{B}_{1} = (nqSdl) \mathbf{v}_{2} \times \mathbf{B}_{1} = I_{2} d\mathbf{I} \times \mathbf{B}_{1} = -\frac{\mu_{0}}{2\pi} \frac{I_{1}I_{2}}{d} dl \mathbf{\hat{d}}$$

Forces sur les éléments dl



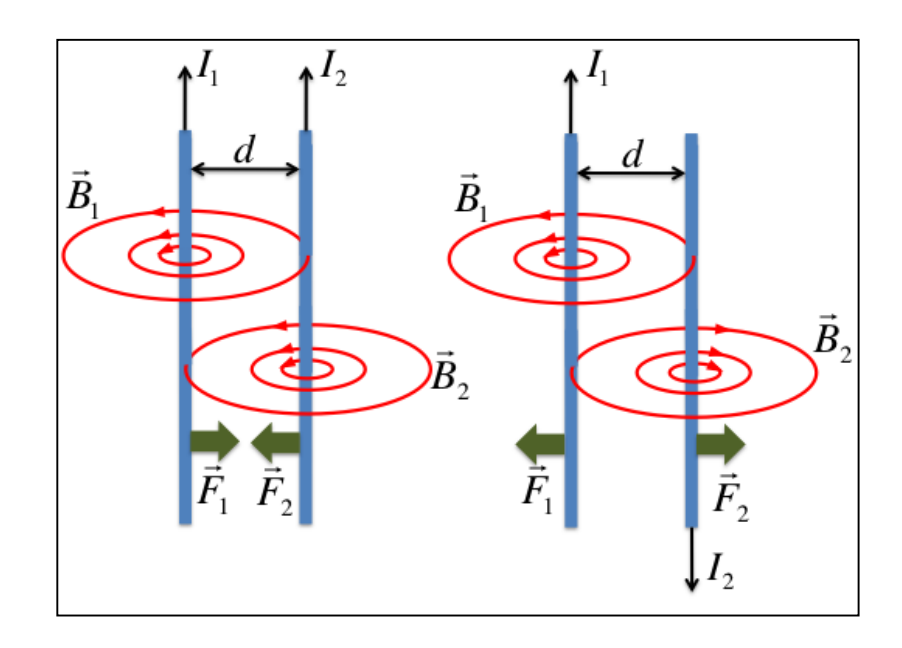
Forces totales sur les fils de longueur L

$$\mathbf{F}_{1} \cong \int_{0}^{L} d\mathbf{F}_{1} = \int_{0}^{L} \frac{\mu_{0}}{2\pi} \frac{I_{1}I_{2}}{d} dl \hat{\mathbf{d}} = \frac{\mu_{0}}{2\pi} \frac{I_{1}I_{2}}{d} L \hat{\mathbf{d}}$$

$$\mathbf{F}_{2} \cong \int_{0}^{L} d\mathbf{F}_{2} = \int_{0}^{L} -\frac{\mu_{0}}{2\pi} \frac{I_{1}I_{2}}{d} dl \hat{\mathbf{d}} = -\frac{\mu_{0}}{2\pi} \frac{I_{1}I_{2}}{d} L \hat{\mathbf{d}}$$

Exemple:

$$I_1 = I_2 = 100 \,\text{A}$$
;  $d = 1 \,\text{cm}$ ;  $L = 1 \,\text{m}$   
 $F = 0.2 \,\text{N}$ 



Note: expérience utilisée pour définir l'Ampère [A]

## Travail de la partie magnétique de la force de Lorentz

#### Note 1:

Particule chargée:

$$\mathbf{F} = q(\mathbf{E} + \mathbf{v} \times \mathbf{B}) \Rightarrow dW = \mathbf{F} \cdot d\mathbf{I} = q(\mathbf{E} + \mathbf{v} \times \mathbf{B}) \cdot \mathbf{v} dt = q\mathbf{E} \cdot \mathbf{v} dt + q(\mathbf{v} \times \mathbf{B}) \cdot \mathbf{v} dt$$
mais  $(\mathbf{v} \times \mathbf{B}) \cdot \mathbf{v} = 0 \ \forall \mathbf{v}, \mathbf{B} \quad \Rightarrow dW = \mathbf{F} \cdot d\mathbf{I} = q(\mathbf{E} + \mathbf{v} \times \mathbf{B}) \cdot \mathbf{v} dt = q\mathbf{E} \cdot \mathbf{v} dt$ 

$$\Rightarrow \text{La force magnétique "ne travaille pas" !}$$

La particule chargée n'acquiert pas d'énergie cinétique en raison du champ magnetique.

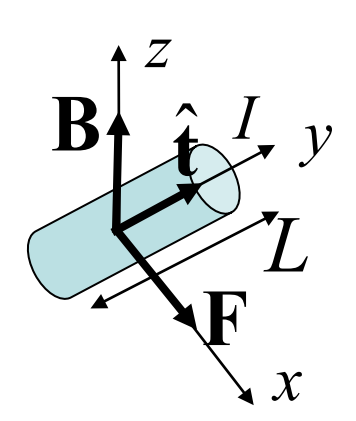
#### Note 2:

Fil rectiligne en mouvement avec courant dans champ magnetique uniforme:

$$dW = \mathbf{F} \cdot d\mathbf{x} = IL(\hat{\mathbf{t}} \times \mathbf{B}) \cdot d\mathbf{x} = ILBdx \neq 0 \Rightarrow P = d/dt(ILBdx) = ILBv$$

v: vitesse du fil dans la direction de la force.

Ce travail ne se fait pas par le champ magnetique mais par le generateur qui produit le courant I contre la force electromotrice induit:  $\varepsilon = BLv$  and  $P = \varepsilon I = IBLv$  (voir plus tard dans le cours, partie "Electrodynamique")



# Energie électrostatique et énergie magnétostatique

#### Cas électrostatique:

l'énergie électrostatique totale  $U_{\rm E}$  d'une distribution de charge isolée est le travail réversible total requis pour créer la **distribution de charge** et son champ électrique associé.

#### Cas magnétostatique:

l'énergie magnétostatique totale  $U_{\rm B}$  d'une distribution de courant isolée est le travail réversible total requis pour créer la **distribution de courant** et son champ magnétique associé.

#### Nous pouvons démontrer que:

#### Dans le vide:

$$U_{E} = \frac{1}{2} \varepsilon_{0} \int_{V} |\mathbf{E}|^{2} dV \qquad U_{E} : \text{énergie électrostatique totale} \qquad u_{E} = \frac{1}{2} \varepsilon_{0} |\mathbf{E}|^{2} \qquad u_{E} : \text{densité d'énergie électrostatique}$$

$$U_{B} = \frac{1}{2\mu_{0}} \int_{V} |\mathbf{B}|^{2} dV \qquad U_{B} : \text{énergie magnetostatique totale} \qquad u_{B} = \frac{1}{2\mu_{0}} |\mathbf{B}|^{2} \qquad u_{B} : \text{densité d'énergie magnetostatique}$$

#### En presence d'un materiau lineare:

$$U_{E} = \frac{1}{2} \int_{V} \mathbf{E} \cdot \mathbf{D} dV$$

$$U_{E} : \text{énergie électrostatique totale}$$

$$U_{E} : \mathbf{D} : \mathbf{D}$$

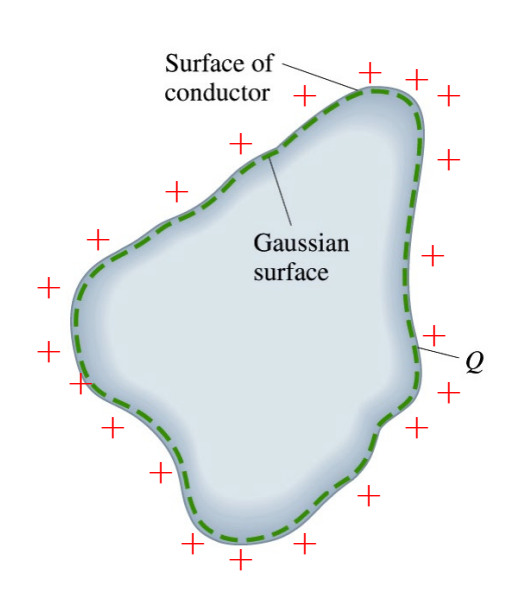
$$U_{E} : \mathbf{D} : \mathbf{D}$$

$$U_{E} : \mathbf{D} : \mathbf{D} : \mathbf{D}$$

$$U_{E} : \mathbf{D} : \mathbf$$

G 199, J 165, Z 180, J 212, Z 385

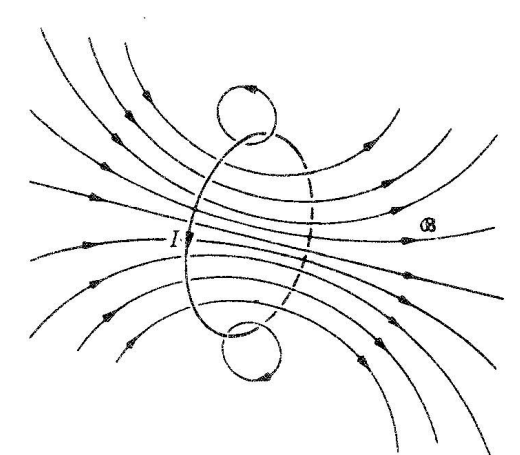
## Inductance et capacité



Capacité (auto-capacité):

$$C \triangleq \frac{Q}{V}$$
 [C] = C/V = F=Farad

La capacité d'un conducteur est la charge totale sur le conducteur lorsqu'il est maintenu à un potentiel de 1 V (avec tous les autres conducteurs étant maintenus à un potentiel nul).



Inductance (auto-inductance):

$$L \triangleq \frac{\Phi_B}{I}$$
 [L] = Tm<sup>2</sup>/A = H=Henry

L'inductance L d'un circuit électrique est définie comme le rapport entre le flux du champ magnétique embrassé par le circuit et le courant. (le flux est celui produit par le courant I parcourant le circuit et non celui provenant d'une autre source (autre courant, aimant, etc.)

#### Note:

Deux définitions courantes d'inductance:

1) L'inductance L du circuit électrique est le rapport entre le flux du champ magnétique embrassé par le circuit et le courant:

$$L \triangleq \frac{\Phi_B}{I}$$

(le flux est celui produit par le courant *I* parcourant le circuit et non celui provenant d'une autre source (autre courant, aimant, etc.))

Cette définition présente deux «inconvénients» :

- a) Le flux est une grandeur physique difficile à mesurer directement. La «surface circonscrite par le circuit» n'est pas toujours facile à déterminer et, dans certains cas, elle n'existe même pas (par exemple si le circuit «fait un nœud»).
- b) La définition suppose que le flux est proportionnel à l'intensité du courant. Ce n'est pas le cas quand le flux traverse un matériau magnétique non-linéaire.
- 2) La fem auto-induite d'un circuit électronique est proportionnelle à la vitesse de variation temporelle du courant *I* dans le circuit. Le paramètre reliant la fem à la variation du courant est défini comme inductance (ou auto-inductance). (voir plus tard dans le chapitre «Electrodynamique»)

$$\varepsilon = -L \frac{dI}{dt}$$

Celle-ci ne présente que le inconvénient b).

## La matrice de capacité et la matrice de inductance

La matrice de capacité C décrit comment un ensemble de conducteurs chargés s'influencent électriquement.

La matrice de capacité (qui doit être mesurée ou calculée) relie la charge  $Q_i$  sur le conducteur i au potentiel  $V_i$  du conducteur j pour un ensemble de N conducteurs:

$$Q_i = \sum_{i=1}^N C_{ij} V_j$$

$$U_E = \frac{1}{2} \sum_{i=1}^{N} Q_i V_i = \frac{1}{2} \sum_{i=1}^{N} \sum_{j=1}^{N} C_{ij} V_i V_j$$

 $C_{ii} = C_i$  : capacité (capacité propre)

 $C_{ii}$  avec  $i \neq j$ : capacité mutuelle

La capacité d'un conducteur i (i.e.,  $C_{ii}$ ) est donc la charge totale du conducteur lorsqu'il est maintenu au potentiel de l'unité (i.e.,  $V_i$ = 1 V), et tous les autres conducteurs étant maintenus à un potentiel nul (i.e.,  $V_i$ = 0 pour  $j \neq i$ ).

La matrice de inductance M décrit comment un ensemble de circuits porteurs de courant s'influencent magnétiquement.

La matrice de inductance (qui doit être mesurée ou calculée) relie le flux magnétique  $\Phi_{B,i}$  à travers le circuit i au courant  $I_i$  dans le circuit j:

$$\Phi_{B,i} = \sum_{j=1}^{N} M_{ij} I_j$$

$$U_B = \frac{1}{2} \sum_{i=1}^{N} \Phi_{B,i} I_i = \frac{1}{2} \sum_{i=1}^{N} \sum_{j=1}^{N} M_{ij} I_i I_j$$

 $M_{ii} = L_i$ : inductance (inductance propre)

 $M_{ij}$  avec  $i \neq j$ : inductance mutuelle

#### Note:

On peut aussi montrer que:

$$C_{ij} = \frac{\mu_0}{4\pi} \frac{1}{V_i V_j} \int_{V_i} dV \int_{V_j} dV \cdot \frac{\rho_i(\mathbf{r}) \rho_j(\mathbf{r}')}{|\mathbf{r} - \mathbf{r}'|} \qquad C_{ii} = C_i = \frac{1}{4\pi\varepsilon_0} \frac{1}{V_i^2} \int_{V_i} dV \int_{V_i} dV \cdot \frac{\rho_i(\mathbf{r}) \rho_i(\mathbf{r}')}{|\mathbf{r} - \mathbf{r}'|}$$

 $C_{ii} = C_i$  : capacité (capacité propre)

 $C_{ij}$  avec  $i \neq j$ : capacité mutuelle

$$M_{ij} = \frac{\mu_0}{4\pi} \frac{1}{I_i I_j} \int_{V_i} dV \int_{V_j} dV \cdot \frac{\mathbf{J}_i(\mathbf{r}) \cdot \mathbf{J}_j(\mathbf{r}')}{|\mathbf{r} - \mathbf{r}'|} \qquad M_{ii} = L_i = \frac{\mu_0}{4\pi} \frac{1}{I_i^2} \int_{V_i} dV \int_{V_i} dV \cdot \frac{\mathbf{J}_i(\mathbf{r}) \cdot \mathbf{J}_i(\mathbf{r}')}{|\mathbf{r} - \mathbf{r}'|}$$

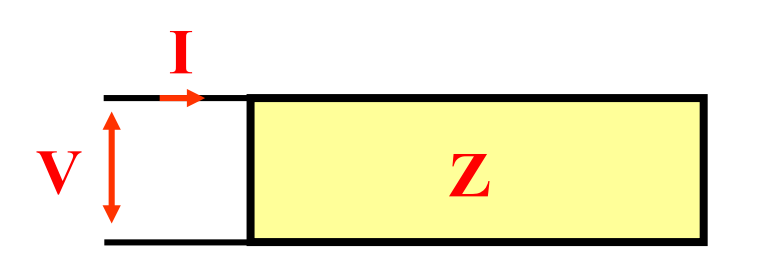
 $M_{ii}=L_i$ : inductance (inductance propre)

 $M_{ij}$  avec  $i \neq j$ : inductance mutuelle

7.35

## Inductance propre et capacité propre:

définition plus générale



Pour faibles fréquences et faible pertes par radiation (sans démonstration)  $\Rightarrow$ 

$$L = \frac{1}{\left|I\right|^2} \int_{V} \mathbf{B} \cdot \mathbf{H} dV = \frac{2}{\left|I\right|^2} U_B$$

$$U_B = \frac{1}{2} \int_{V} \mathbf{B} \cdot \mathbf{H} dV = \frac{1}{2} L |I|^2$$
 Energie stockée dans une inductance  $L$  avec courant  $I$ 

$$C = \frac{1}{\left|V\right|^2} \int_{V} \mathbf{E} \cdot \mathbf{D} dV = \frac{2}{\left|V\right|^2} U_E$$

$$U_E = \frac{1}{2} \int_{V} \mathbf{E} \cdot \mathbf{D} dV = \frac{1}{2} C |V|^2$$
 Energie stockée dans une capacité  $C$  avec tension  $V$ 

Pour matériau linéaire:  $\mathbf{D} = \varepsilon \mathbf{E}$  et  $\mathbf{B} = \mu \mathbf{H}$ 

$$\Rightarrow$$

$$L = \frac{1}{|I|^2} \int_{V} \frac{1}{\mu} B^2 dV = \int_{V} \frac{1}{\mu} B_u^2 dV$$

Champ magnétique «unitaire» (i.e., créé par un courant *I*=1 A)

$$C = \frac{1}{|V|^2} \int_{V} \varepsilon E^2 dV = \int_{V} \varepsilon E_u^2 dV$$

Champ électrique «unitaire» (i.e., créé par une voltage V=1 V)

### Démonstration:

Conservation de l'energie (voir J 264 et diapositives "Electrodynamique"):

$$\frac{1}{2}I_i^*V_i = \frac{1}{2}\int_V \mathbf{J}_f^* \cdot \mathbf{E}dV + 2i\omega\int_V (w_m - w_e)dV + \oint_{S - S_i} \mathbf{S} \cdot \mathbf{n}da \qquad \text{Impédance: } Z \triangleq \frac{V_i}{I_i} \qquad Z = R + jX$$

Impédance: 
$$Z \triangleq \frac{V_i}{I_i}$$
  $Z =$ 

$$Z = R + jX$$

$$R = \operatorname{Re}\left[\frac{V_i}{I_i}\right] = \frac{1}{\left|I_i\right|^2} \left\{ \operatorname{Re}\left[\int_{V} \mathbf{J}_{f}^{*} \cdot \mathbf{E} dV\right] + 4\omega \operatorname{Im}\left[\int_{V} (w_m - w_e) dV\right] + 2 \oint_{S - S_i} \mathbf{S} \cdot \mathbf{n} da \right\}$$

$$X = \operatorname{Im}\left[\frac{V_i}{I_i}\right] = \frac{1}{\left|I_i\right|^2} \left\{ -\operatorname{Im}\left[\int_{V} \mathbf{J}_{f}^{*} \cdot \mathbf{E} dV\right] + 4\omega \operatorname{Re}\left[\int_{V} (w_m - w_e) dV\right] \right\}$$

$$X = \operatorname{Im}\left[\frac{V_i}{I_i}\right] = \frac{1}{\left|I_i\right|^2} \left\{ -\operatorname{Im}\left[\int_{V} \mathbf{J}_{f}^{*} \cdot \mathbf{E} dV\right] + 4\omega \operatorname{Re}\left[\int_{V} (w_m - w_e) dV\right] \right\}$$

Pour faibles frequences et faible pertes par radiation  $\Rightarrow$ 

$$R \cong \frac{1}{\left|I_{i}\right|^{2}} \operatorname{Re} \left[ \int_{V} \mathbf{J}_{f}^{*} \cdot \mathbf{E} dV \right]$$

$$\omega L = \frac{4\omega}{|I_i|^2} \int_V w_m dV \qquad \frac{1}{\omega C} = \frac{4\omega}{|I_i|^2} \int_V w_e dV$$

$$\frac{1}{\omega C} = \frac{4\omega}{|I_i|^2} \int_V w_e dV$$

$$\Rightarrow L = \frac{1}{|I_i|^2} \int_V \mathbf{B} \cdot \mathbf{H} \cdot dV \qquad C = \frac{1}{|V_i|^2} \int_V \mathbf{E} \cdot \mathbf{D} \cdot dV$$

$$C = \frac{1}{|V|^2} \int_V \mathbf{E} \cdot \mathbf{D} * dV$$

Pour matériau linéaire:  $\mathbf{D} = \varepsilon \mathbf{E}$  et  $\mathbf{B} = \mu \mathbf{H}$ 

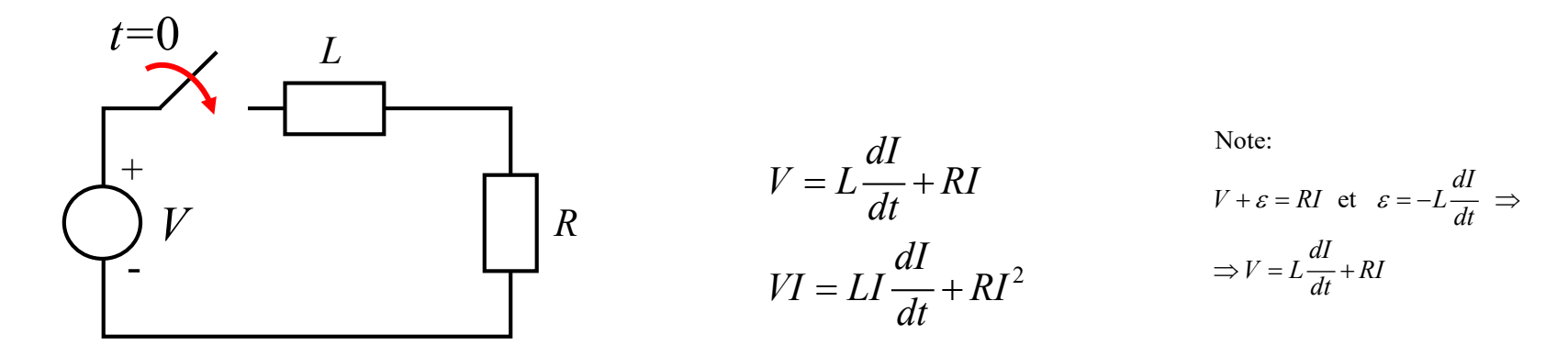
$$\Rightarrow L = \frac{1}{|I_i|^2} \int_V \frac{1}{\mu} B^2 dV = \int_V \frac{1}{\mu} B_u^2 dV \qquad C = \frac{1}{|V_i|^2} \int_V \varepsilon E^2 dV = \int_V \varepsilon E_u^2 dV$$

$$C = \frac{1}{|V_i|^2} \int_{V} \varepsilon E^2 dV = \int_{V} \varepsilon E_u^2 dV$$

$$X \cong \frac{4\omega}{\left|I_{i}\right|^{2}} \int_{V} \left(w_{m} - w_{e}\right) dV = \omega L - \frac{1}{\omega C} \implies$$

$$u_{EM} \triangleq (1/2)(\mathbf{E} \cdot \mathbf{D} + \mathbf{B} \cdot \mathbf{H})$$
  
$$w_{EM} \triangleq (1/4)(\mathbf{E} \cdot \mathbf{D} + \mathbf{B} \cdot \mathbf{H})$$

### **Energie dans une inductance....**



 $VI = P_G$  Puissance électrique fournie par le générateur:

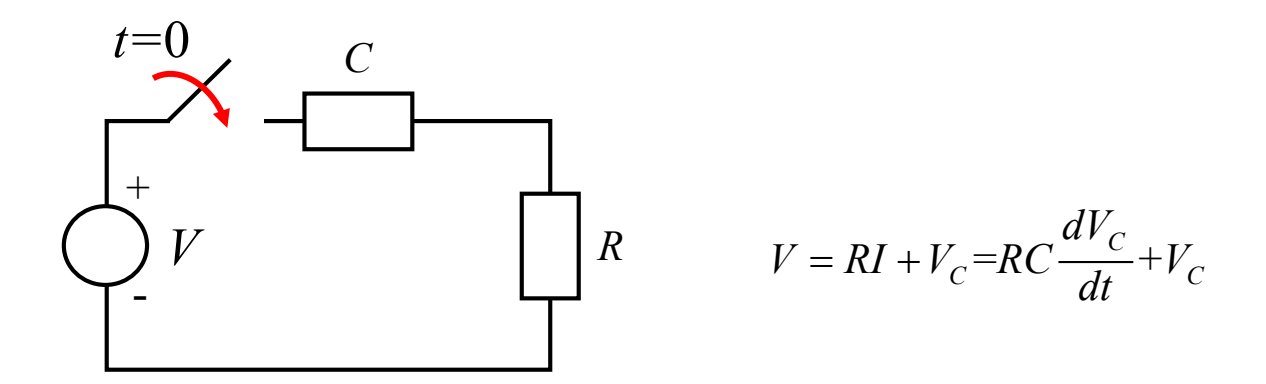
$$P_G = LI \frac{dI}{dt} + RI^2 = P_L + P_R$$

$$P_L = LI \frac{dI}{dt} = \frac{d}{dt} \left(\frac{1}{2}LI^2\right) \qquad I = \frac{V}{R} \left(1 - e^{-(R/L)t}\right)$$

Energie stockée dans l'inductance L à la fin de la phase de «charge» (i.e., avec un courant constant)

$$\begin{split} P_{L} &= \frac{1}{2}L\frac{d}{dt}I^{2} \\ U_{B,\infty} &= \int_{0}^{\infty}Pdt = \int_{0}^{\infty}\frac{1}{2}L\frac{d}{dt}I^{2}dt = \frac{1}{2}L\int_{0}^{\infty}\frac{d}{dt}I^{2}dt = \frac{1}{2}L\left[I^{2}\right]_{0}^{\infty} = \frac{1}{2}LI_{\infty}^{2} = LI_{L,\infty}^{2} \\ & \Longrightarrow U_{B,\infty} = \frac{1}{2}LI_{L,\infty}^{2} \qquad I_{L,\infty} = \frac{V}{R} \end{split}$$

### Energie dans un condensateur....



$$VI = P_G$$
 Puissance électrique fournie par le générateur

$$P_G = RI^2 + V_C I = P_R + P_C$$

$$P_C = V_C I$$
  $I = \frac{V}{R} (e^{-(1/RC)t})$   $V_C = V(1 - e^{-(1/RC)t})$ 

Energie stockée dans dans le condensateur à la fin

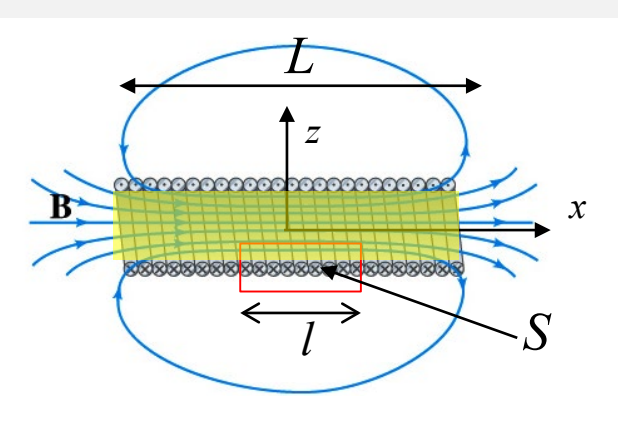
$$P_C = \frac{V^2}{R} \left( e^{-(1/RC)t} - e^{-(2/RC)t} \right)$$

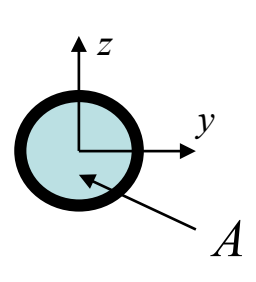
de la phase de «charge» (i.e., avec une tension constante) 
$$U_{E,\infty} = \int_0^\infty P_C dt = \int_0^\infty \frac{V^2}{R} \left( e^{-(1/RC)t} - e^{-(2/RC)t} \right) = \frac{1}{2}CV^2 = \frac{1}{2}CV_{C,\infty}^2$$

$$\Rightarrow U_{E,\infty} = \frac{1}{2}CV_{C,\infty}^2$$

$$V_{C,\infty} = V$$

## Exercice: inductance d'un solénoïde infini (avec matériau magnétique linéaire)





#### Methode 1:

Maxwell: 
$$\oint_C \mathbf{H} \cdot d\mathbf{l} = \int_S \mathbf{J}_f \cdot d\mathbf{s} + \int_S \frac{\partial \mathbf{D}}{\partial t} \cdot d\mathbf{s}$$

Condition statiques:  $\frac{\partial \mathbf{D}}{\partial t} = 0$ 

Dans un matériau magnétique linéaire:  $\mathbf{B} = \mu \mathbf{H} = \mu_0 \mu_r \mathbf{H}$ 

$$\int_{G} \mathbf{J}_{f} \cdot d\mathbf{s} = InL$$

 $\mathbf{B} \cong 0$  à l'extérieur du solénoïde;  $\mathbf{B} \cong B\hat{\mathbf{x}}$  à l'intérieur du solénoïde

$$\oint_C \mathbf{B} \cdot d\mathbf{l} = \mu_0 \mu_r \oint_C \mathbf{H} \cdot d\mathbf{l} = \mu_0 \mu_r \int_S \mathbf{J}_f \cdot d\mathbf{s} = \mu_0 \mu_r InL$$

$$\oint_{C} \mathbf{B} \cdot d\mathbf{l} \cong BL + 0 + 0 + 0 = BL$$

$$\Rightarrow B = \mu_0 \mu_r In$$

$$\Rightarrow \Phi_B = NBA = N\mu_0\mu_r InA = \frac{N^2\mu_0\mu_r IA}{I}$$

$$\Rightarrow L = \frac{\Phi_B}{I} = \frac{N^2 \mu_0 \mu_r A}{I}$$

n = (N/L) nombre de tours par unité de longueur N = nombre de tours du solénoïde

Attention: A et S sont deux surfaces différentes.

#### Methode 2:

...de la methode 1:

 $B \cong \mu_0 \mu_r In$  à l'intérieur du solénoïde

 $B \cong 0$ à l'extérieur du solénoïde

$$L = \frac{1}{|I|^2} \int_{V} \frac{1}{\mu} B^2 dV \cong \frac{1}{|I|^2} \int_{V_{submodel}} \frac{1}{\mu} B^2 dV \cong \frac{1}{|I|^2} \frac{1}{\mu} B^2 \int_{V_{submodel}} dV \cong \frac{1}{|I|^2} \frac{1}{\mu} B^2 AL = \frac{N^2 \mu_0 \mu_r A}{L}$$

Methode 3 (voir plus tard dans le chapitre "Electrodinamique"):

$$\varepsilon = -\frac{d}{dt} N \int_{A} \mathbf{B} \cdot d\mathbf{s} \qquad \qquad \varepsilon = -L \frac{dI}{dt} \qquad \qquad \oint_{C} \mathbf{H} \cdot d\mathbf{l} \cong \int_{S} \mathbf{J}_{f} \cdot d\mathbf{s}$$

$$\varepsilon = -L \frac{dI}{dt}$$

$$\oint_C \mathbf{H} \cdot d\mathbf{l} \cong \int_S \mathbf{J}_f \cdot d\mathbf{l}$$

 $\mathbf{H} \cong 0$  à l'extérieur du solénoïde;  $\mathbf{H} \cong B\hat{\mathbf{x}}$  à l'intérieur du solénoïde

$$\oint_C \mathbf{H} \cdot d\mathbf{l} = Hl \qquad \int_S \mathbf{J}_f \cdot d\mathbf{s} = nlI$$

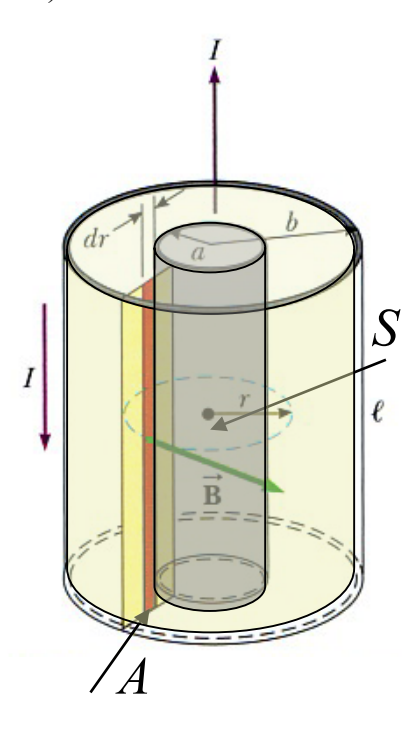
$$H = nI$$

$$\varepsilon = -\frac{d}{dt} N \int_{A} \mathbf{B} \cdot d\mathbf{s} = -\frac{d}{dt} N \int_{A} \mu_{0} \mu_{r} \mathbf{H} \cdot d\mathbf{s} = -\mu_{0} \mu_{r} N A n \frac{dI}{dt}$$

$$L = \mu_0 \mu_r NAn = \frac{\mu_0 \mu_r N^2 A}{I} = \mu_0 \mu_r n^2 V$$

## Exercice: inductance d'un câble coaxial infini (avec matériau magnétique linéaire)

- *L*: Inductance d'une portion de longueur *l* du câble coaxial Attention:
- 1) nous supposons que le courant à l'intérieur des conducteurs est nul (hypothèse raisonnable aux hautes fréquences où la «skin depth» est petite par rapport à a).
- 2) A et S sont deux surfaces différentes.



#### Methode 1:

Maxwell: 
$$\oint_C \mathbf{H} \cdot d\mathbf{l} = \int_S \mathbf{J}_f \cdot d\mathbf{s} + \int_S \frac{\partial \mathbf{D}}{\partial t} \cdot d\mathbf{s}$$

Condition statique:  $\frac{\partial \mathbf{D}}{\partial t} = 0$ 

 $\mathbf{H} = \mathbf{H}(r)\hat{\mathbf{u}}_{\phi}$  entre les deux conducteurs

Dans un matériau magnétique linéaire:  $\mathbf{B} = \mu \mathbf{H} = \mu_0 \mu_r \mathbf{H}$ 

$$\Rightarrow \oint_{C} \mathbf{H} \cdot d\mathbf{l} = H2\pi r \qquad \int_{S} \mathbf{J}_{f} \cdot d\mathbf{s} = I$$

$$\Rightarrow H = \frac{I}{2\pi r}$$

$$\Rightarrow B = \frac{\mu_{0}\mu_{r}I}{2\pi r} / \text{Flux (efficace)}?$$

$$\Rightarrow \Phi_{B} = \oint_{A} \mathbf{B} \cdot d\mathbf{s} = \int_{A} \mu_{0}\mu_{r}\mathbf{H} \cdot d\mathbf{s} = I \int_{a}^{b} \frac{\mu_{0}\mu_{r}}{2\pi r} l dr = I \frac{\mu_{0}\mu_{r}l}{2\pi} \ln \frac{b}{a}$$

$$\Rightarrow L = \frac{\Phi_{B}}{I} = \frac{\mu_{0}\mu_{r}l}{2\pi} \ln \frac{b}{a}$$

#### Methode 2:

...de la methode 1:

$$B = \frac{\mu_0 \mu_r I}{2\pi r}$$
 entre les deux conducteurs

$$B \cong 0$$
 partout ailleurs

$$L = \frac{1}{|I|^2} \int_{V} \frac{1}{\mu} B^2 dV \cong$$

$$= \frac{1}{|I|^2} \int_{V_{\text{entre les deux}}} \frac{1}{\mu} B^2 dV = \frac{\mu_0 \mu_r}{(2\pi)^2} \int_a^b \frac{1}{r^2} l2\pi r dr = \frac{\mu_0 \mu_r l}{2\pi} \int_a^b \frac{1}{r} dr = \frac{\mu_0 \mu_r l}{2\pi} \ln \frac{b}{a}$$

Methode 3 (voir plus tard dans le chapitre "Electrodinamique"):

$$\varepsilon = -\frac{d}{dt} \int \mathbf{B} \cdot d\mathbf{s} \qquad \qquad \varepsilon = -L \frac{dI}{dt} \qquad \qquad \oint_{\mathcal{C}} \mathbf{H} \cdot d\mathbf{l} \cong \int_{\mathcal{C}} \mathbf{J}_f \cdot d\mathbf{s}$$

 $\mathbf{H} = \mathbf{H}(r)\hat{\mathbf{u}}_{\phi}$  entre les deux conducteurs

$$\Rightarrow \oint_{C} \mathbf{H} \cdot d\mathbf{l} = H2\pi r \qquad \int_{S} \mathbf{J}_{f} \cdot d\mathbf{s} = I$$
Flux «efficace»?
$$\varepsilon = -\frac{d}{dt} \int_{A} \mathbf{B} \cdot d\mathbf{s} = -\frac{d}{dt} \int_{A} \mu_{0} \mu_{r} \mathbf{H} \cdot d\mathbf{s} = -\frac{dI}{dt} \int_{a}^{b} \frac{\mu_{0} \mu_{r}}{2\pi r} l \, dr = -\frac{dI}{dt} \frac{\mu_{0} \mu_{r} l}{2\pi} \ln \frac{b}{a}$$

$$\Rightarrow -\frac{\mu_{0} \mu_{r} l}{2\pi} \ln \frac{b}{a} \frac{dI}{dt} = -L \frac{dI}{dt}$$

$$\Rightarrow L = \frac{\mu_{0} \mu_{r} l}{2\pi} \ln \frac{b}{a}$$

### Multipôles magnétiques

$$\mathbf{A}(\mathbf{r}) = \frac{\mu_0}{4\pi} \int_{V} \frac{\mathbf{J}(\mathbf{r}')}{|\mathbf{r} - \mathbf{r}'|} dV$$

pour r >> r' et r >> R

$$\frac{1}{|\mathbf{r} - \mathbf{r}'|} = \frac{1}{r} - \mathbf{r}' \cdot \nabla \cdot \frac{1}{r} + \frac{1}{2} (\mathbf{r}' \cdot \nabla) \frac{1}{r} - \dots$$

$$k = x, y, z$$

Pour démonstration voir Z 336

$$\Rightarrow k = x, y, z$$

$$A_{k}(\mathbf{r}) = \frac{\mu_{0}}{4\pi} \left( \frac{1}{r} \int_{V} J_{k}(\mathbf{r}') dV + \frac{\mathbf{r}}{r^{3}} \cdot \int_{V} J_{k}(\mathbf{r}') \mathbf{r}' dV + \dots \right) = \frac{\mu_{0}}{4\pi} \left( \frac{1}{r} \int_{V} J_{k}(\mathbf{r}') dV + \frac{1}{2} \int_{V} \mathbf{r}' \times \mathbf{J}(\mathbf{r}') dV + \dots \right)$$

Une distribution de courants localisée est confinée entièrement dans une sphère de rayon R. Le point d'observation est  $\mathbf{r}$  où r >> R.

avec

$$\frac{1}{r} \int_{V} J_k(\mathbf{r}') dV = 0$$

$$\mathbf{m} \triangleq \frac{1}{2} \int_{V} \mathbf{r}' \times \mathbf{J}(\mathbf{r}') dV$$

Moment de monopole magnétique (monopole magnétique)

Moment de dipole magnétique (dipole magnétique)

Z 336 7.42

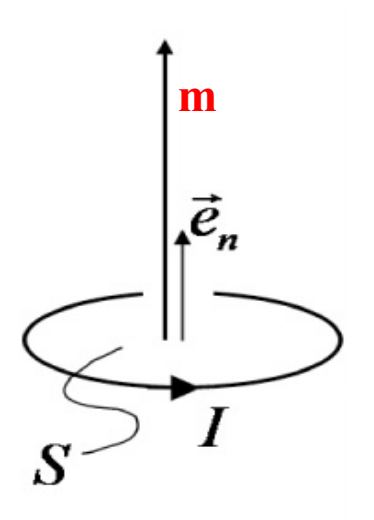


## Le dipôle magnétique

$$\mathbf{m} \triangleq \frac{1}{2} \int_{V} \mathbf{r} \times \mathbf{J}(\mathbf{r}) dV$$

m: moment de dipôle magnétique (dipôle magnétique)

### Exemple 1. Circuit électrique circulaire avec courant *I*:

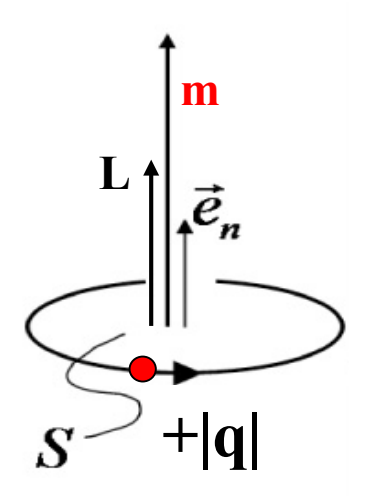


$$\mathbf{m} = \frac{1}{2} \int_{V} \mathbf{r} \times \mathbf{J}(\mathbf{r}) dV = \frac{1}{2} I \oint_{C} \mathbf{r} \times d\mathbf{l} = \frac{1}{2} I \hat{\mathbf{e}}_{n} \oint_{C} r dl = \frac{1}{2} I \hat{\mathbf{e}}_{n} r \oint_{C} dl$$
$$= \frac{1}{2} Ir 2\pi r \hat{\mathbf{e}}_{n} = IS \hat{\mathbf{e}}_{n} \quad [A \text{ m}^{2}]$$

Z 339

### Exemple 2. Particule chargée avec masse $m_p$ en orbite circulaire:

Moment magnétique en fonction du courant equiv. et en fonction du moment angulaire:



Le courant equivalent est:

$$I = q \frac{1}{T} = q \frac{v}{2\pi R} = q \frac{\omega}{2\pi}$$

$$\Rightarrow$$

$$\mathbf{m} = IS\hat{\mathbf{e}}_n = q \frac{v}{2} R \hat{\mathbf{e}}_n = q \frac{\omega}{2\pi} S \hat{\mathbf{e}}_n$$

m: moment de dipôle magnétique (dipôle magnétique)

Le moment angulaire est:

$$\mathbf{L} = \mathbf{r} \times (m_p \mathbf{v}) = Rm_p v \hat{\mathbf{e}}_n = m_p \omega R^2 \hat{\mathbf{e}}_n$$

$$\Rightarrow$$

$$\mathbf{m} = a \quad \mathbf{L} \quad \mathbf{S} = q \quad \mathbf{L}$$

$$\mathbf{m} = q \frac{1}{2\pi} \frac{\mathbf{L}}{m_p R^2} S = \frac{q}{2m_p} \mathbf{L}$$

Note: Nous pouvons appeler ce moment de dipole magnétique de la particule le moment de dipole magnétique "orbital" de la particule, pour le distinguer du moment de dipole magnétique intrinsèque ou spin que possèdent certaines particules (electrons, noyaux, ..)

## Force, couple, énergie potentielle pour un dipôle magnétique dans un champ B

Calculons la force (et le couple) exercée sur une distribution de courants J(r') par un champ électrique externe B(r') qui change "lentement" dans l'espace. Lentement signifie que le champ magnétique est bien approximé par une expansion de la série de Taylor à deux termes autour d'un point de référence r situé dans la distribution de courants:

$$B(r') = B(r) + \left[\left(r - r'\right) \cdot \nabla\right] B(r) + .....$$

$$\mathbf{m} = \frac{1}{2} \int_{V} \mathbf{r}' \times \mathbf{J}(\mathbf{r}') dV$$

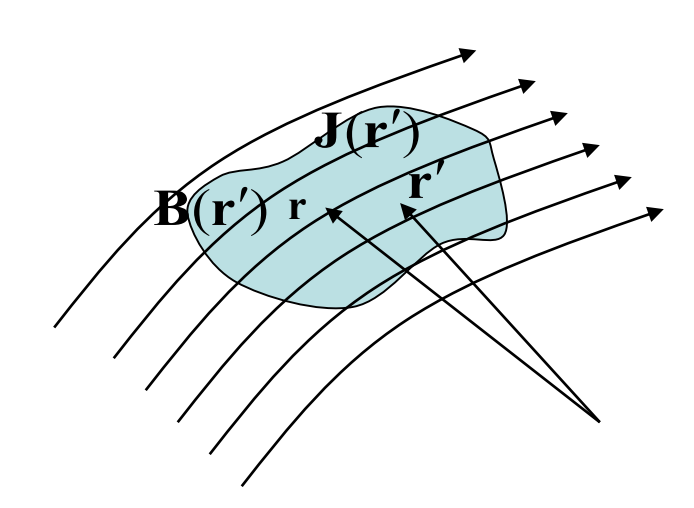
$$\mathbf{F} = \int_{V} \mathbf{J}(\mathbf{r}') \times \mathbf{B}(\mathbf{r}') dV$$

$$\mathbf{N} = \int_{V} (\mathbf{r}' \times (\mathbf{J}(\mathbf{r}') \times \mathbf{B}(\mathbf{r}'))) dV$$

 $\Rightarrow$  (sans demonstration)

$$\mathbf{N} = \mathbf{m} \times \mathbf{B}$$
 Couple par rapport au centre du dipole (i.e., pour  $\mathbf{r} = 0$ )

$$U_B = -\mathbf{m} \cdot \mathbf{B}$$



Z 373-379, P 538

### Note 1:

En général:  $\mathbf{F} = m_k \nabla B_k$ 

$$\Rightarrow \mathbf{F} = \nabla (\mathbf{m} \cdot \mathbf{B}) \text{ si } \mathbf{m} \text{ est un vecteur constant (i.e., } \frac{\partial}{\partial k} m_j = 0 \ \forall k, j = x, y, z)$$

Dem.: 
$$m_k \nabla B_k = \sum_{k=x,y,z} m_k \nabla B_k = \dots$$

$$\Rightarrow$$
 **F** = (**m** ·  $\nabla$ )**B** si **m** est un vecteur constant et  $\nabla \times$  **B** = 0

Dem.: Math.: 
$$(\mathbf{m} \cdot \nabla) \mathbf{B} = -\mathbf{m} \times (\nabla \times \mathbf{B}) - \mathbf{B} \times (\nabla \times \mathbf{m}) + \nabla (\mathbf{m} \cdot \mathbf{B}) - (\mathbf{B} \cdot \nabla) \mathbf{m} = (\mathbf{m} \cdot \nabla) \mathbf{B}$$

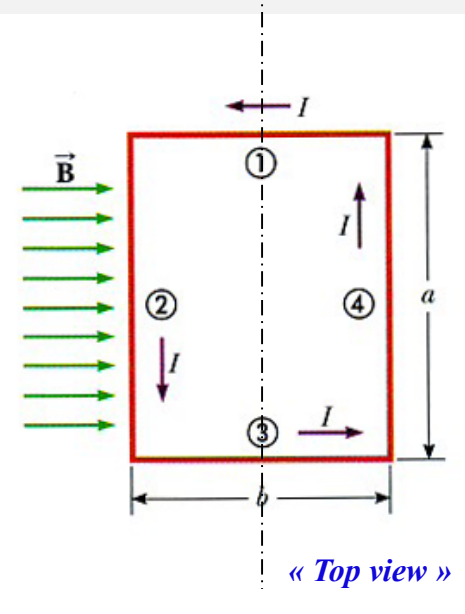
donc en general  $m_k \nabla B_k \neq \nabla (\mathbf{m} \cdot \mathbf{B}) \neq (\mathbf{m} \cdot \nabla) \mathbf{B}$ 

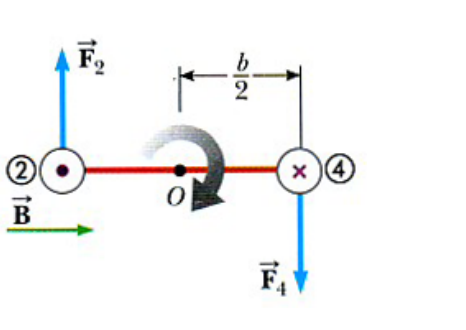
Note 2: En général:  $\mathbf{N} = \mathbf{m} \times \mathbf{B} + \mathbf{r} \times \mathbf{F} \Rightarrow \mathbf{N} = \mathbf{m} \times \mathbf{B}$  si  $\mathbf{r} = 0$ 

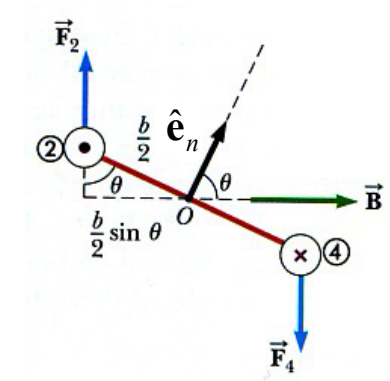
Z 373-379, P 538

### **Exercice: Force et couple sur un circuit**

### dans un champ magnétique uniforme







« Lateral view »

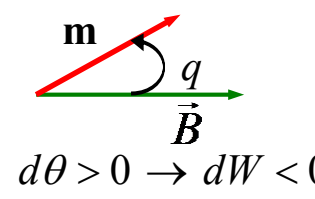
$$\mathbf{F}_{i} = I \mathbf{L}_{i} \times \mathbf{B} \qquad \Rightarrow \qquad F_{2} = F_{4} = I a B \; ; \quad \mathbf{F}_{1} + \mathbf{F}_{3} = 0$$

$$\mathbf{N}_i = \mathbf{r}_i \times \mathbf{F}_i$$
  $\Rightarrow N = bIaB \sin \theta = ISB \sin \theta ; \quad \mathbf{S} = ab \,\hat{\mathbf{e}}_n = S\hat{\mathbf{e}}_n$ 

$$N = IS \times B = m \times B$$
 Couple sur un circuit (de forme et orientation quelconque)

 $\mathbf{m} \triangleq I\mathbf{S}$ 

«Dipôle magnétique» du circuit



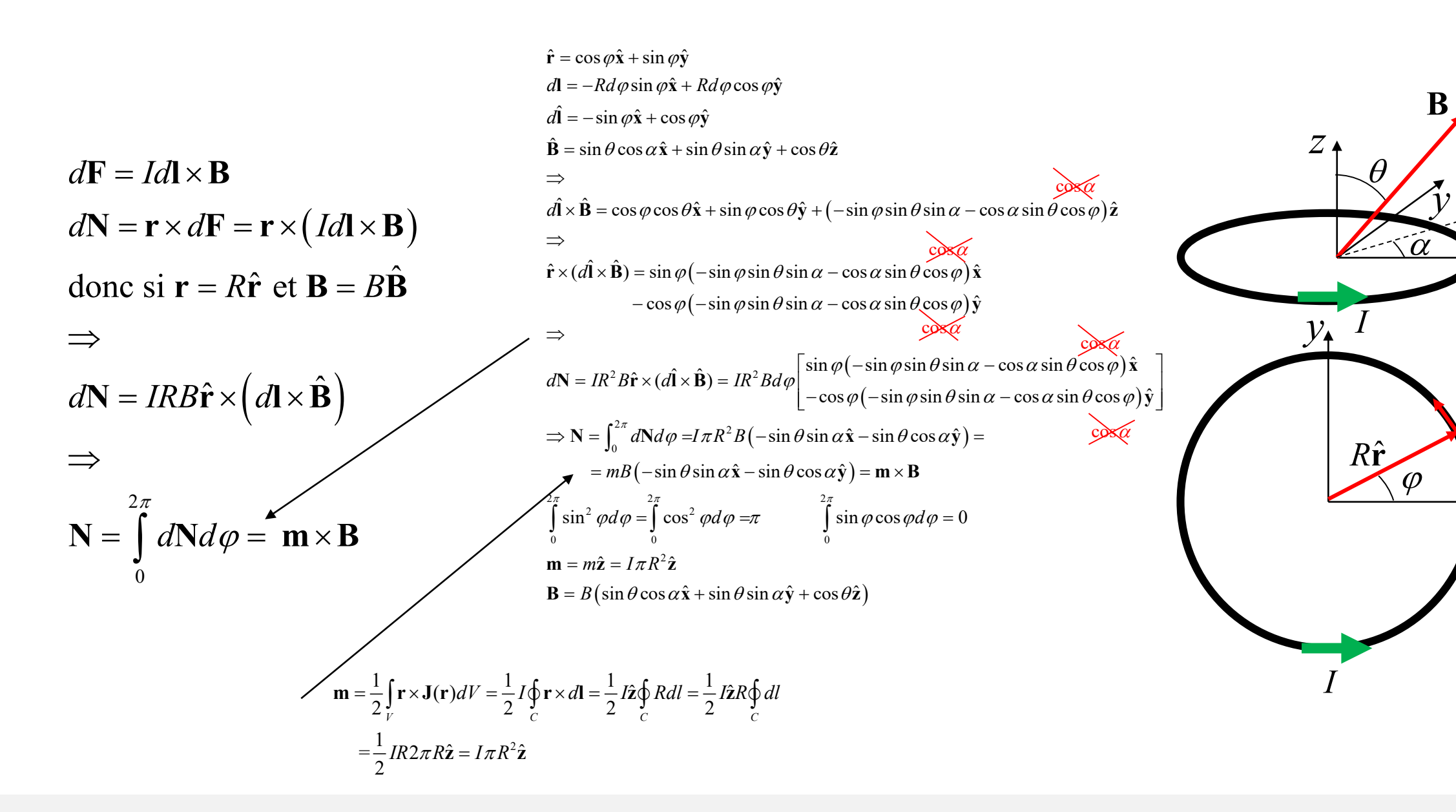
$$dW = -N d\theta = -|\mathbf{m}| B \sin\theta d\theta = -dU_B$$

$$U_B = -|\mathbf{m}| B \cos\theta = -\mathbf{m} \cdot \mathbf{B}$$
 Energie potentielle magnétique

$$U_B = -|\mathbf{m}|B\cos\theta = -\mathbf{m}\cdot\mathbf{B}$$

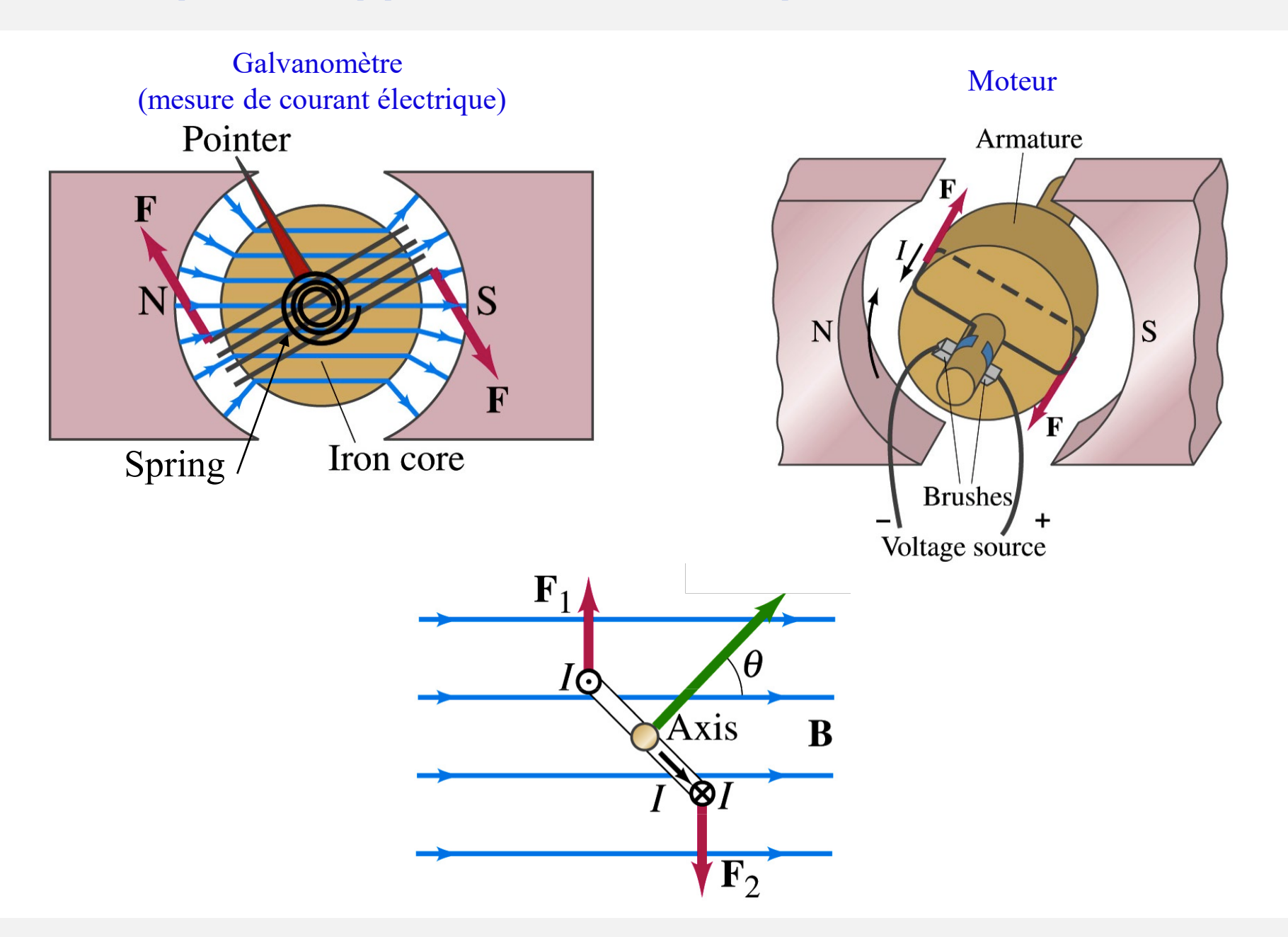
# Exercice: Couple sur une boucle circulaire

### dans un champ magnétique uniforme



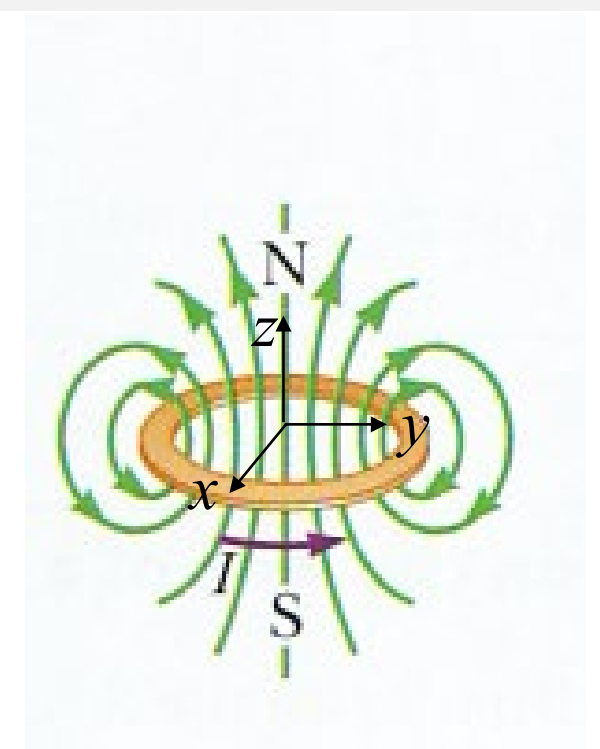


## Exemples d'applications «du couple sur un boucle»



# Principe d'équivalence d'Ampère

entre une aimant permanent et une boucle de courant

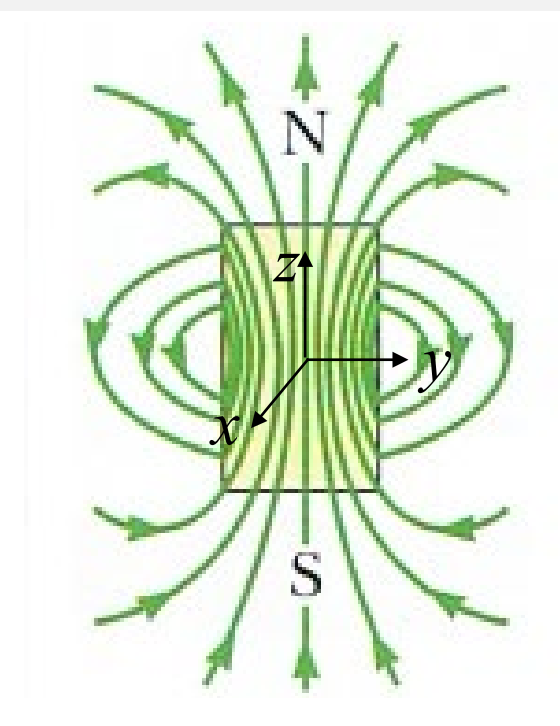


$$\mathbf{m} = I\pi R^2 \hat{\mathbf{z}} = IA\hat{\mathbf{z}} \qquad \left[ Am^2 \right]$$

R: rayon de la boucle [m]

I: courant [A]

A: surface de la boucle  $\lceil m^2 \rceil$ 



$$\mathbf{m} = MV\hat{\mathbf{z}} \qquad \qquad \left[ \mathbf{Am}^2 \right]$$

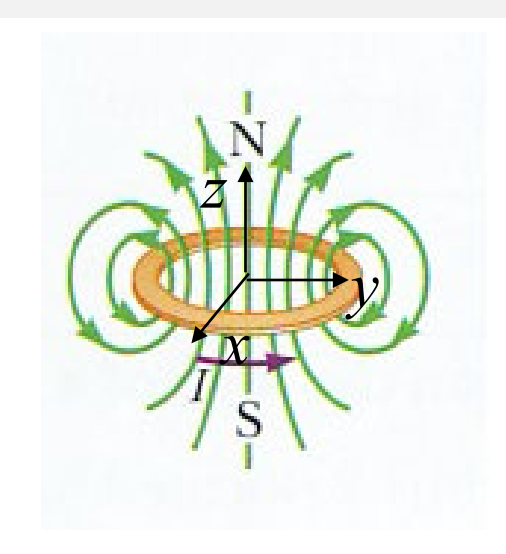
M : aimantation de l'aimant [A/m] (densité de dipôle magnétiques)

V: volume de l'aimant  $[m^3]$ 

S'ils ont le même moment magnétique m:

- 1. Même comportement dans un champ magnétique extérieur (rotation, déplacement)
- 2. Même champ **B** créé à grand distance

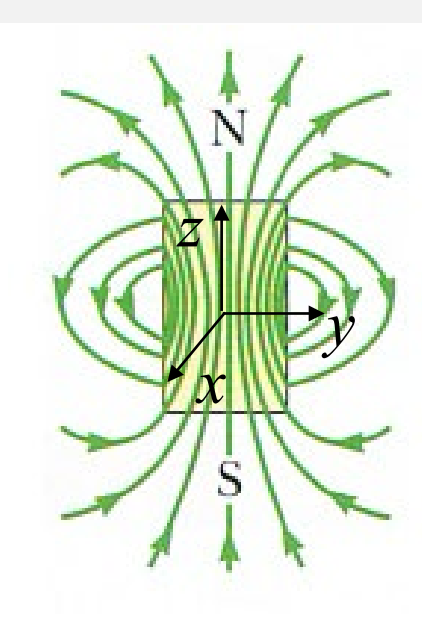




$$\mathbf{B}(\mathbf{x}) = \frac{\mu_0 I}{4\pi} \oint_C \frac{\hat{\mathbf{t}} \times \hat{\mathbf{r}}}{r^2} dl$$

Solution analytique pour  $\mathbf{B}(0,0,z)$  avec loi de Biot-Savart :

$$\mathbf{B}(0,0,z) = \frac{\mu_0 I R^2}{2(R^2 + z^2)^{3/2}}$$
donc pour  $|z| >> R$ :
$$\mathbf{B}(0,0,z) \cong \frac{\mu_0 I R^2}{2z^3} \hat{\mathbf{z}} = \frac{\mu_0 m}{2\pi z^3} \hat{\mathbf{z}}$$



Pour  $|\mathbf{x}| >>$  dimensions de l'aimant, voir Z 338:

$$\mathbf{B}(\mathbf{x}) \cong \frac{\mu_0}{4\pi} \frac{3(\mathbf{m} \cdot \hat{\mathbf{x}})\hat{\mathbf{x}} - \mathbf{m}}{|\mathbf{x}|^3}$$

donc pour  $\mathbf{m} = (0,0,m)$  et  $\mathbf{x} = (0,0,z)$ :

$$\mathbf{B}(0,0,z) = \frac{\mu_0}{4\pi} \frac{2m}{z^3} \hat{\mathbf{z}} = \frac{\mu_0}{2\pi} \frac{m}{z^3} \hat{\mathbf{z}}$$

Z 338